

J. Rychter.

ROBOTY WODNE

I.

Atlas



Biblioteka Politechniki Krakowskiej



100000262780

A white rectangular library label is affixed to the bottom-center of the page. It features the text "Biblioteka Politechniki Krakowskiej" at the top. Below the text is a standard 1D barcode. Underneath the barcode, the identification number "100000262780" is printed.

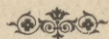


Nr: 108b

BIBLIOTEKA POLITECHNICZNA TOM II.

J. RYCHTER

Profesor szkoły politechnicznej.



ROBOTY WODNE

CZĘŚĆ I.

POMIARY WODNE. ROWY I KANAŁY

Atlas z 17 tablic.



Nr. 1086

LWÓW.

NAKŁADEM AUTORA.

I. ZWIĄZKOWA DRUKARNIA WE LWOWIE.

1894.



~~III-15390~~

IV-200757

WYKAZ TABLIC.

1. Tab. 1 A. Mapa hydrograficzna.
2. „ 1 B. Wezbranie Górnej Wisły.
3. „ 2 A. Plany i przekroje rzek.
4. „ 2 B. Plany i przyrządy hydrometryczne.
5. „ 3. Batometry samokreślne i hydrometry.
6. „ 4. Przyrządy hydrometryczne.
7. „ 5. Hydrometry bańkowe Rittera.
8. „ 6 A. Tabela Franka.
9. „ 6 B. „ Kuttera.
10. „ 7. Sieć dla związku $c r i \alpha$.
11. „ 8 A. Diagramy przekrojów zamkniętych.
12. „ 8 B. Sieć dla związku $c r i \alpha$.
13. „ 9. Tabela do obrachowania wodociągów.
14. „ 10. Kanały otwarte i kryte.
15. „ 11. Lewary.
16. „ 12. Lewary.
17. „ 13. Akwadukty.

~~7-183/2013~~

~~Alc. Nr.~~

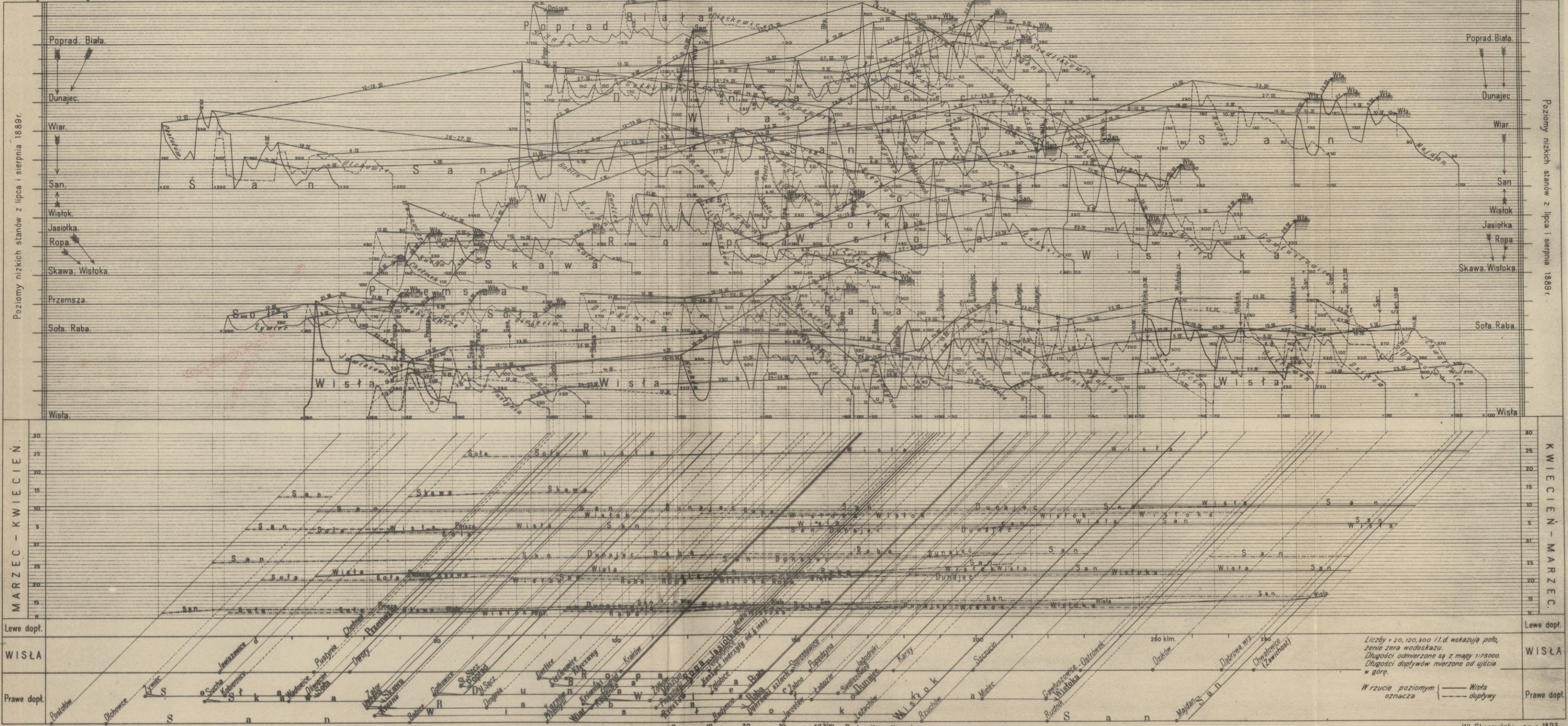
~~205/51~~



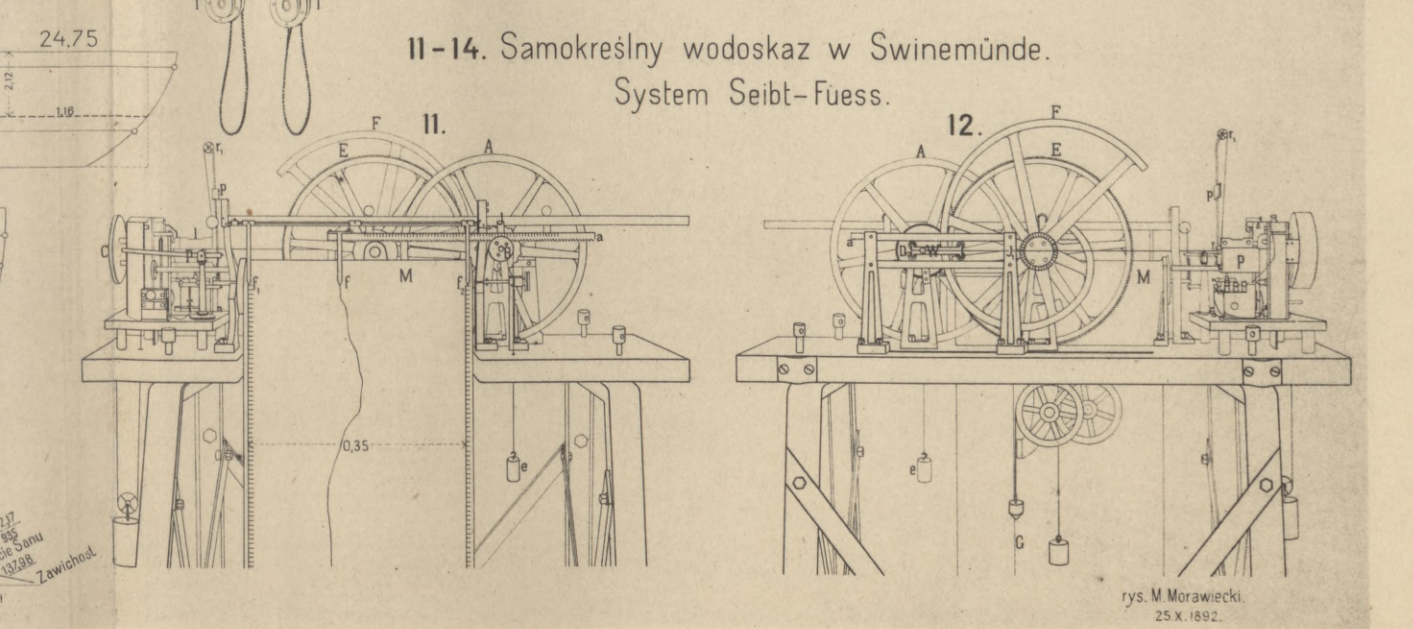
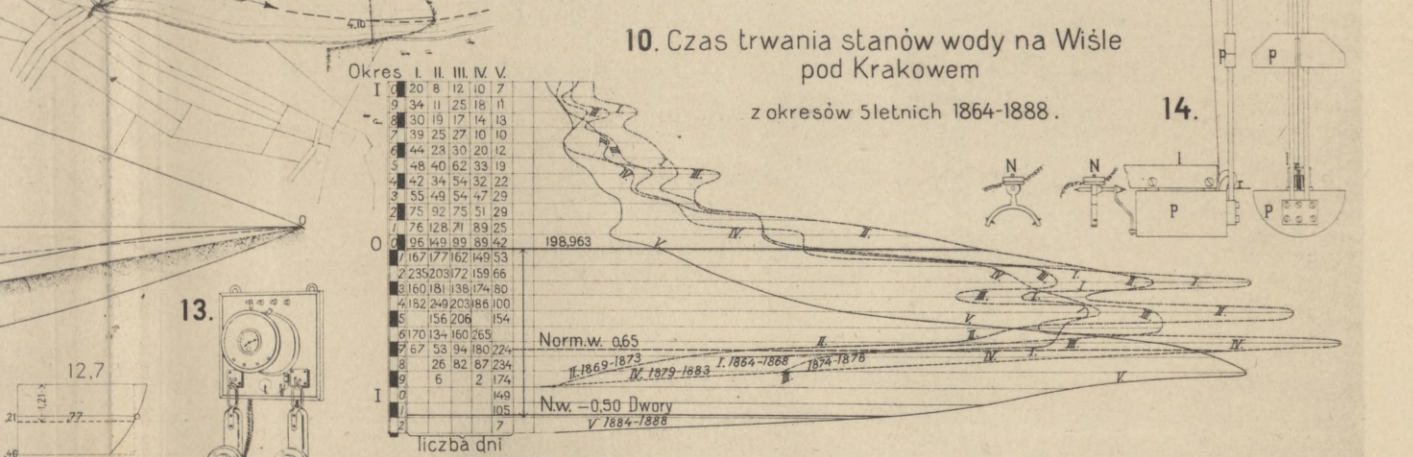
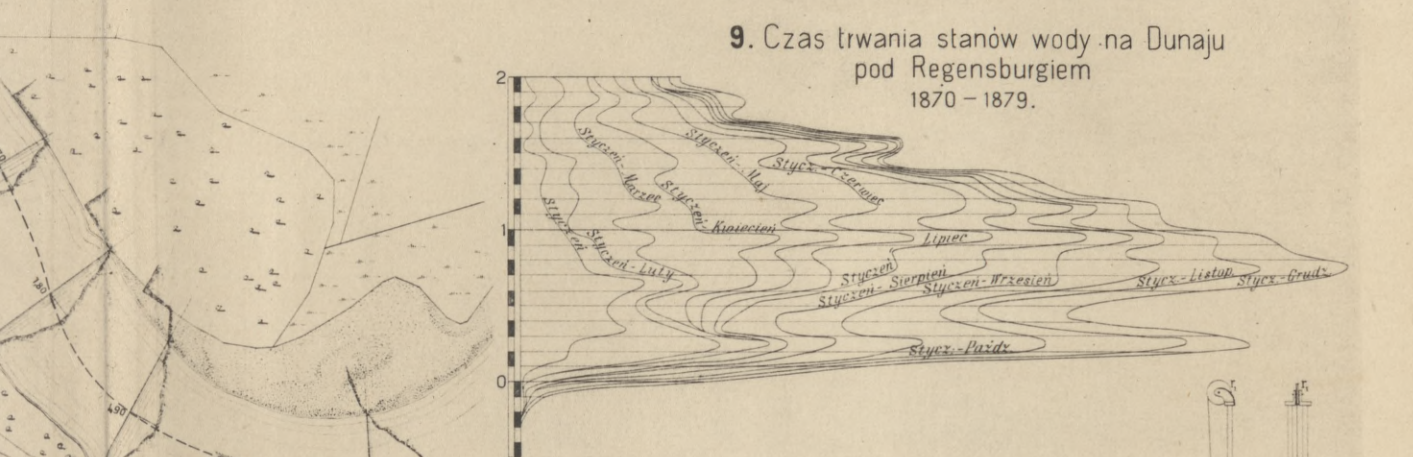
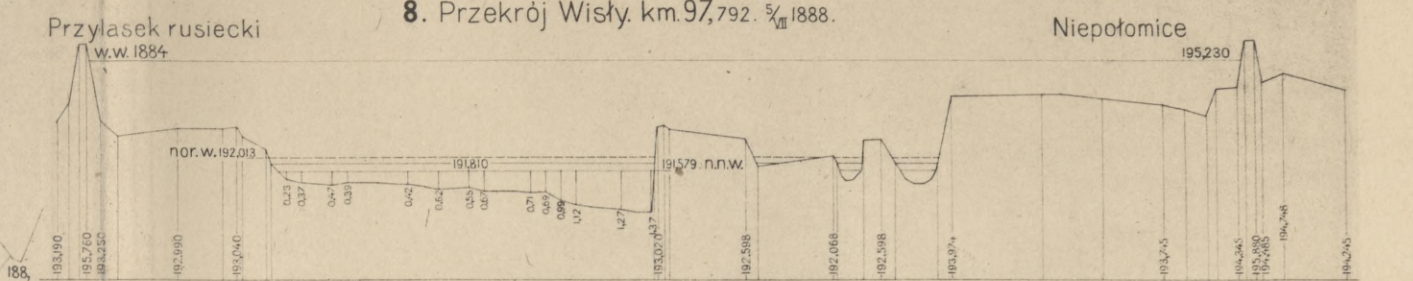
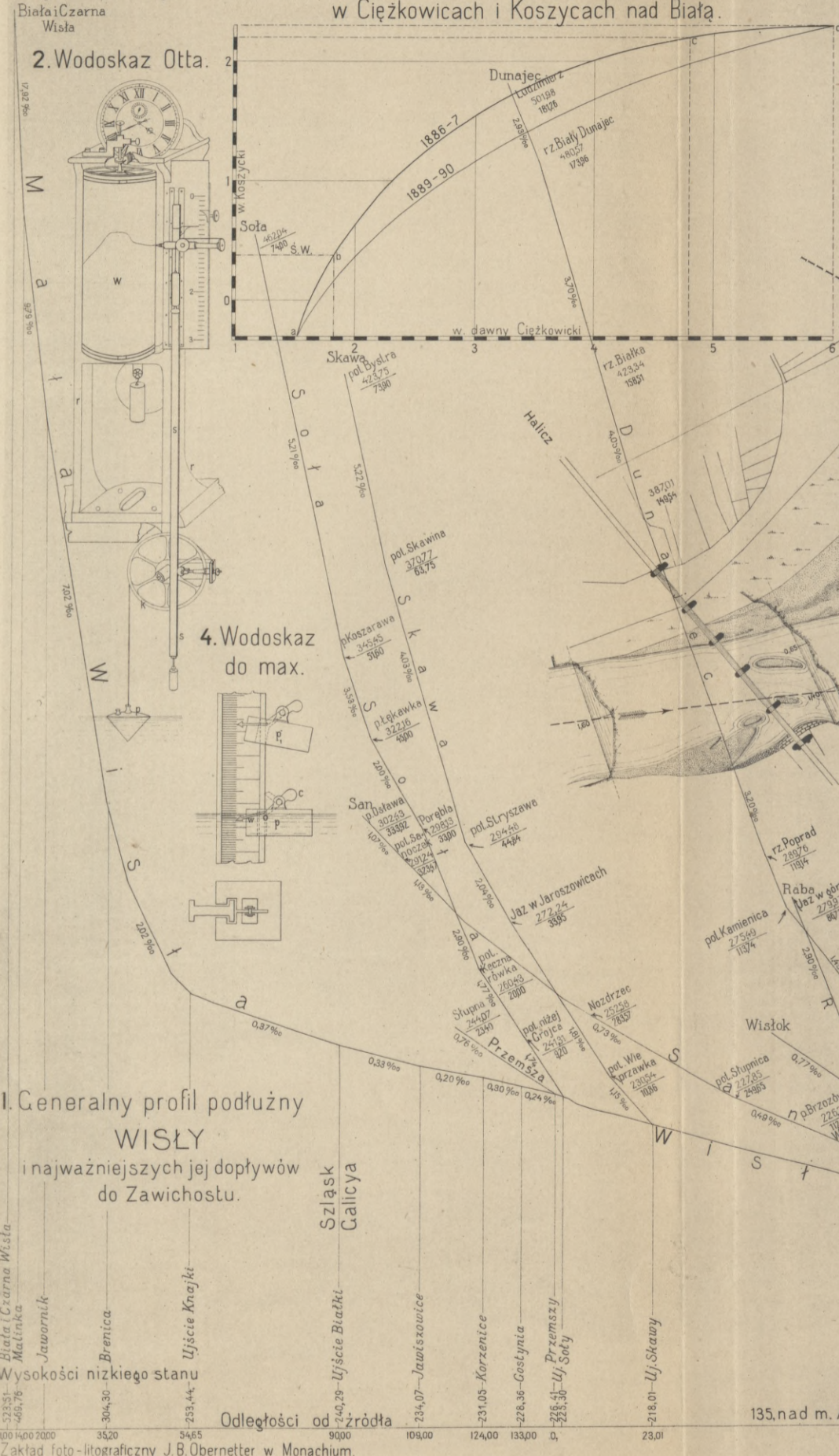
WEZBRANIE GÓRNEJ WISŁY w marcu i kwietniu 1889 r.

J. Rychter Roboty wodne. Cz. I.

Tab. 18.



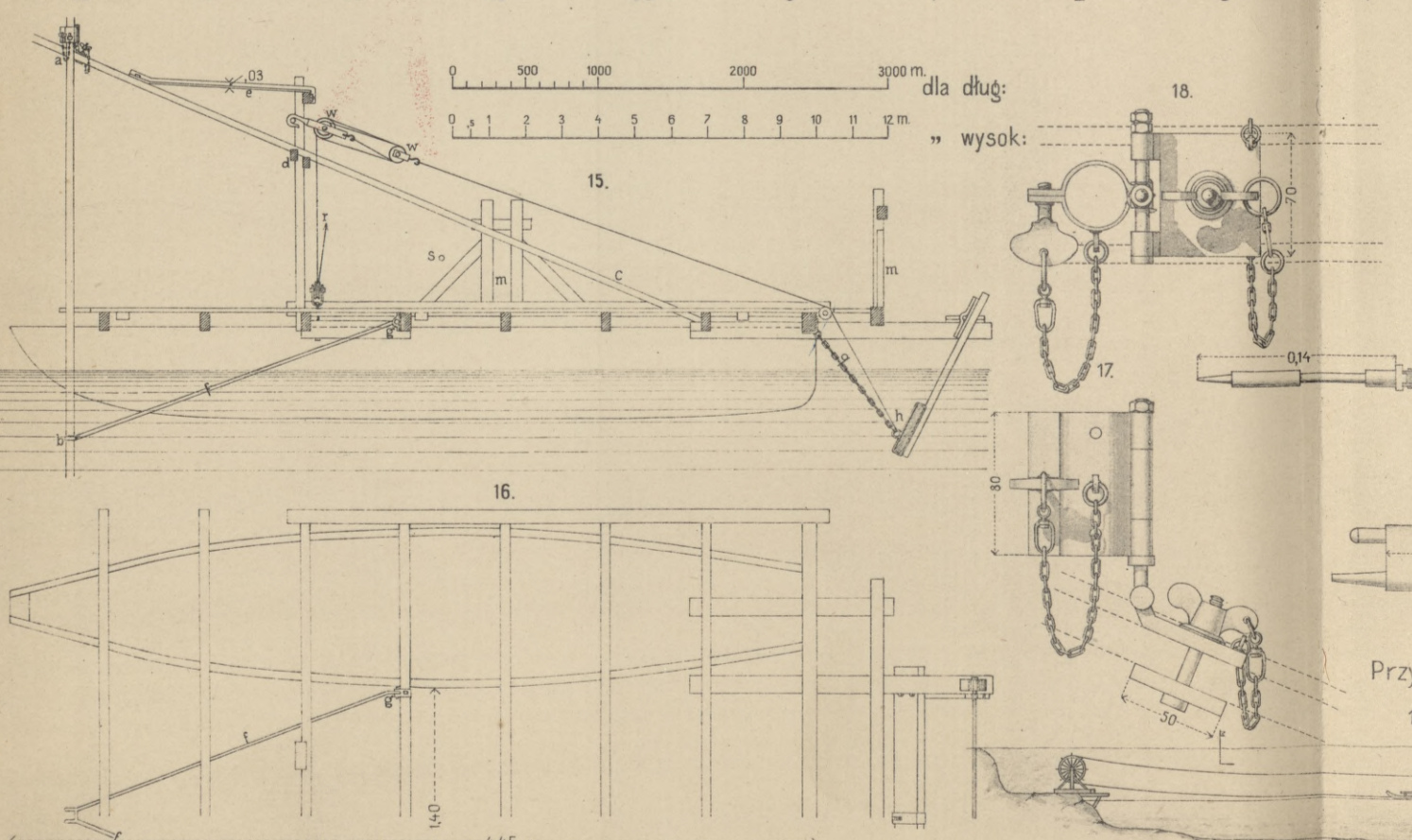
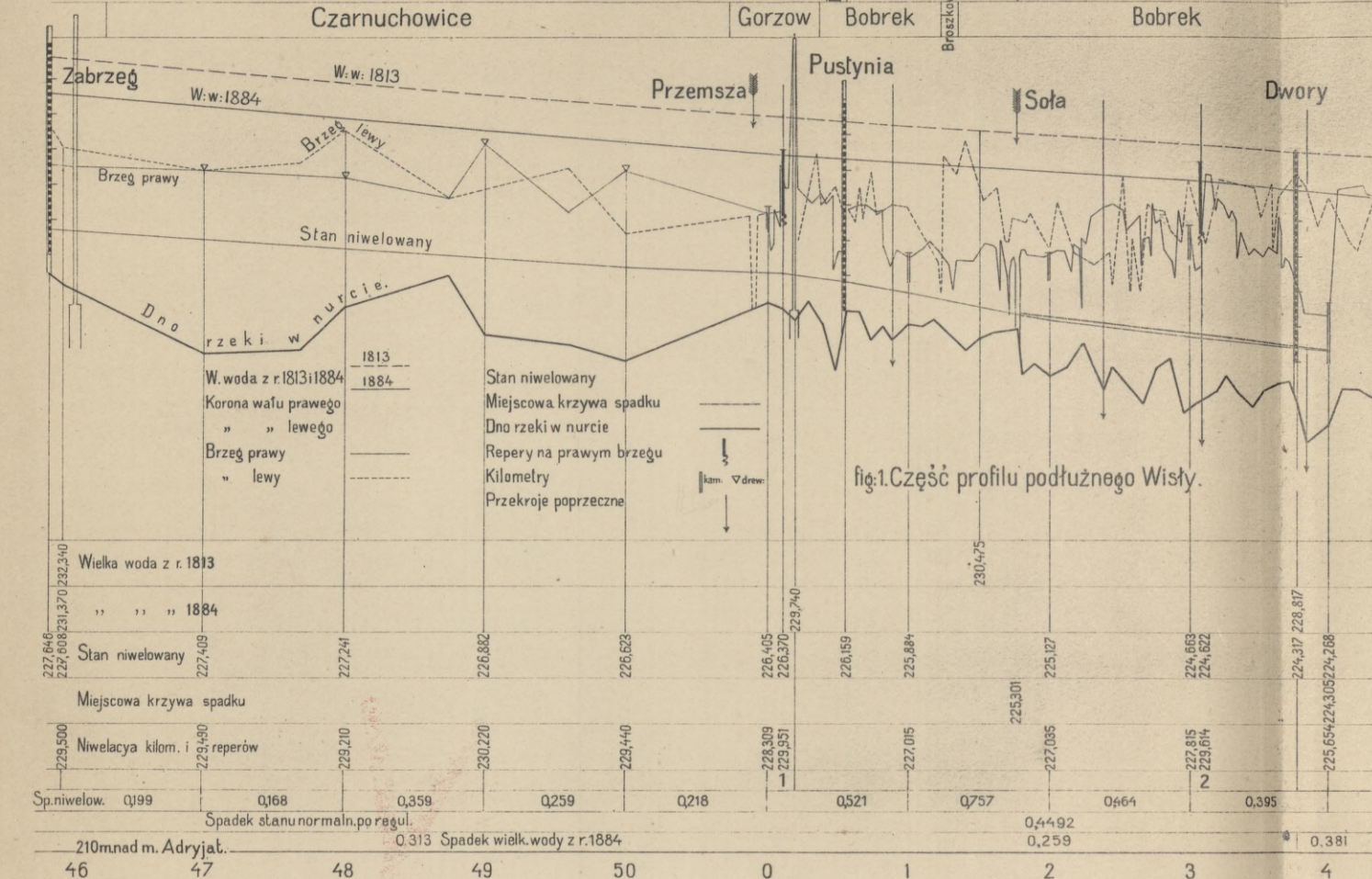




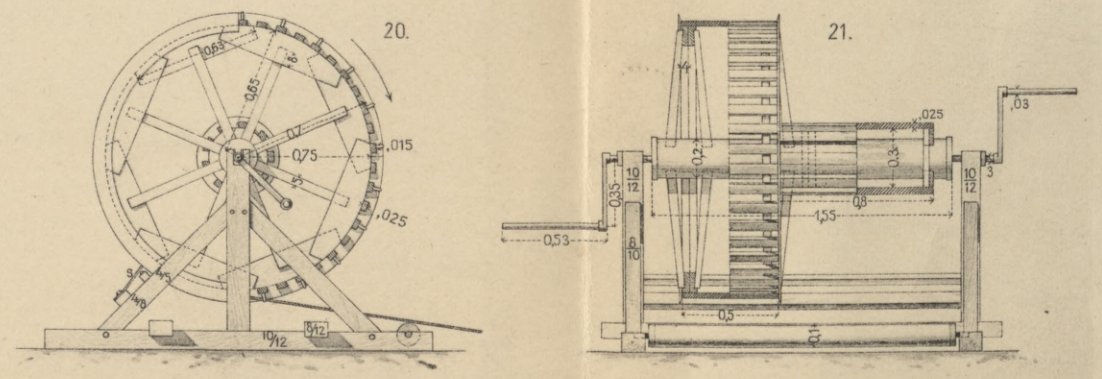
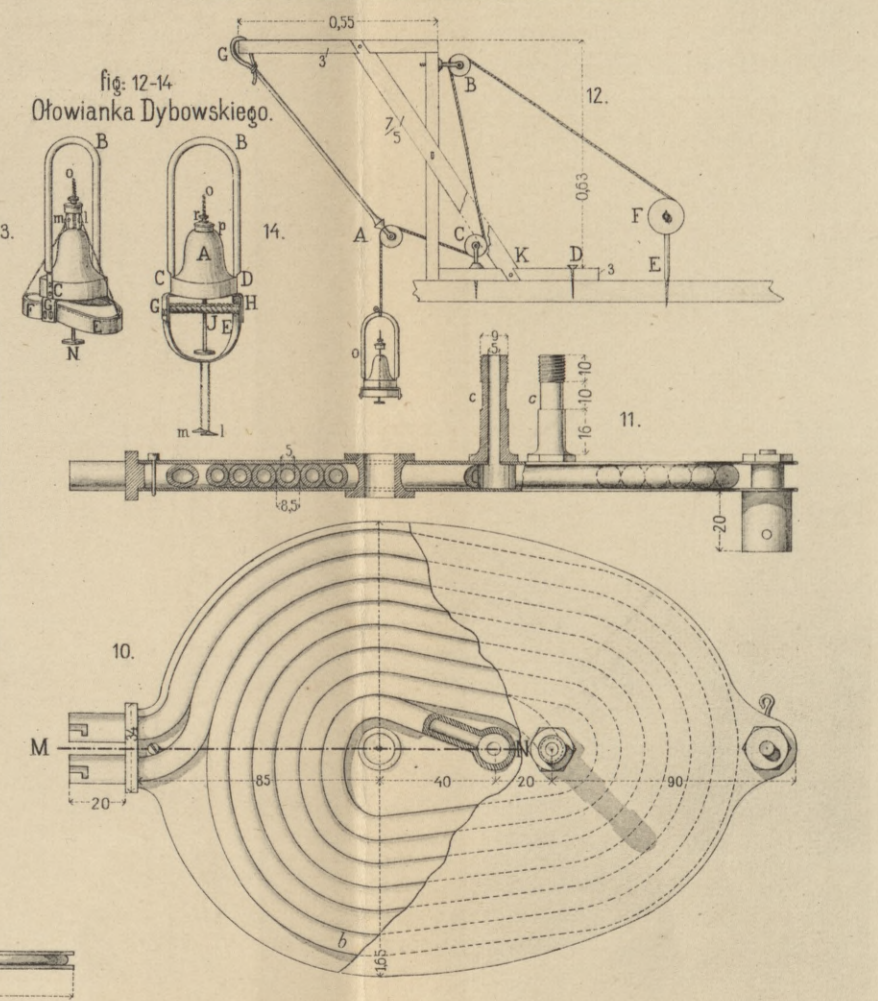
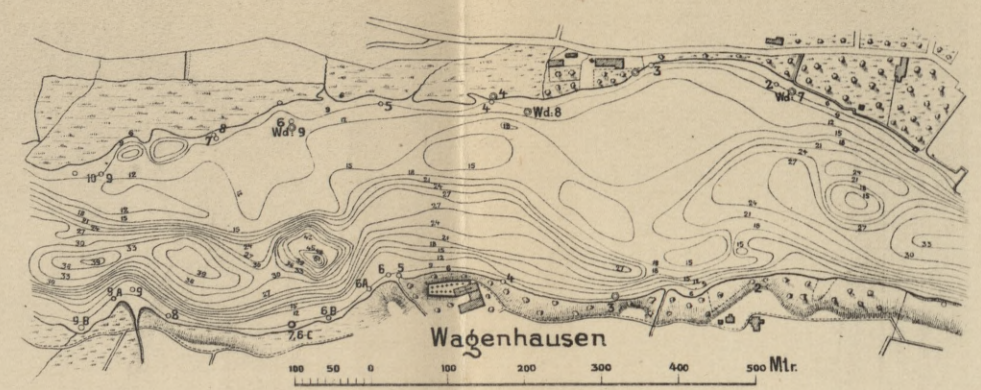
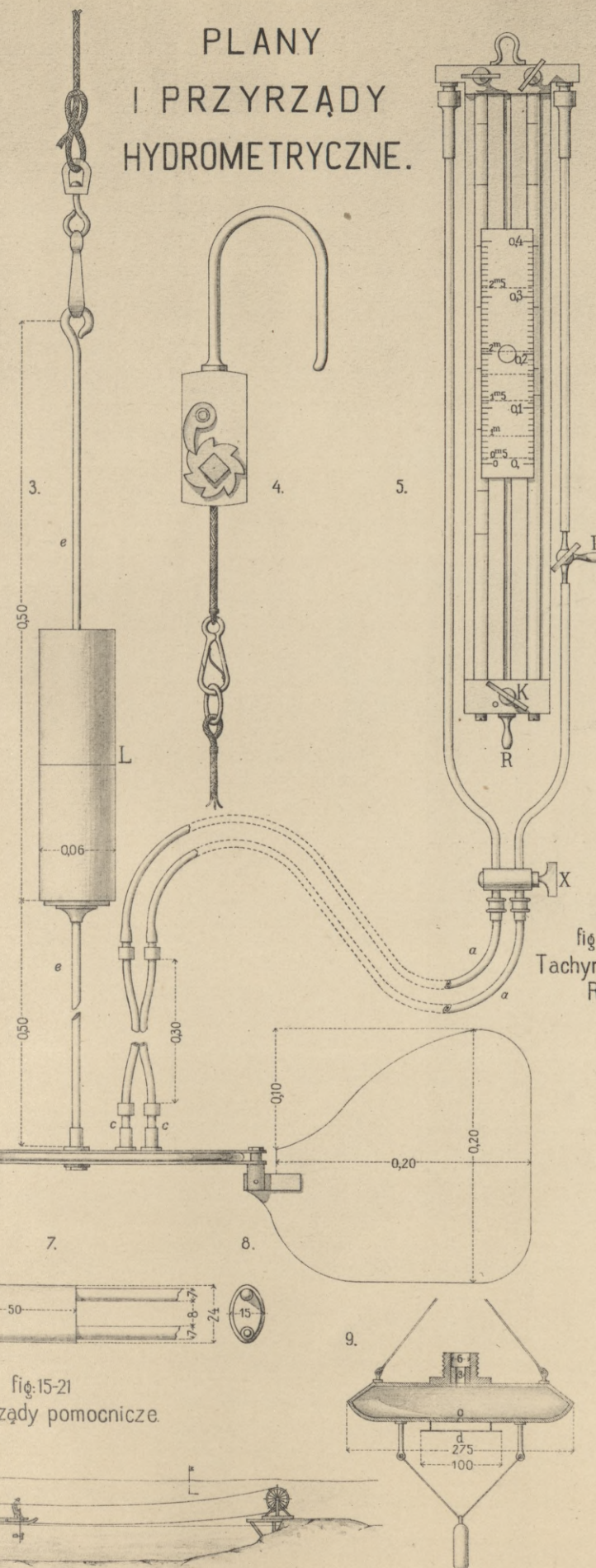
BIBLIOTEKA
KRAKÓW
Politechniczna

ZWIĄZEK
STUDENTÓW
INŻYNIERÓW
PRZY
A. G. M. POLITECHNICE
KRAKÓW





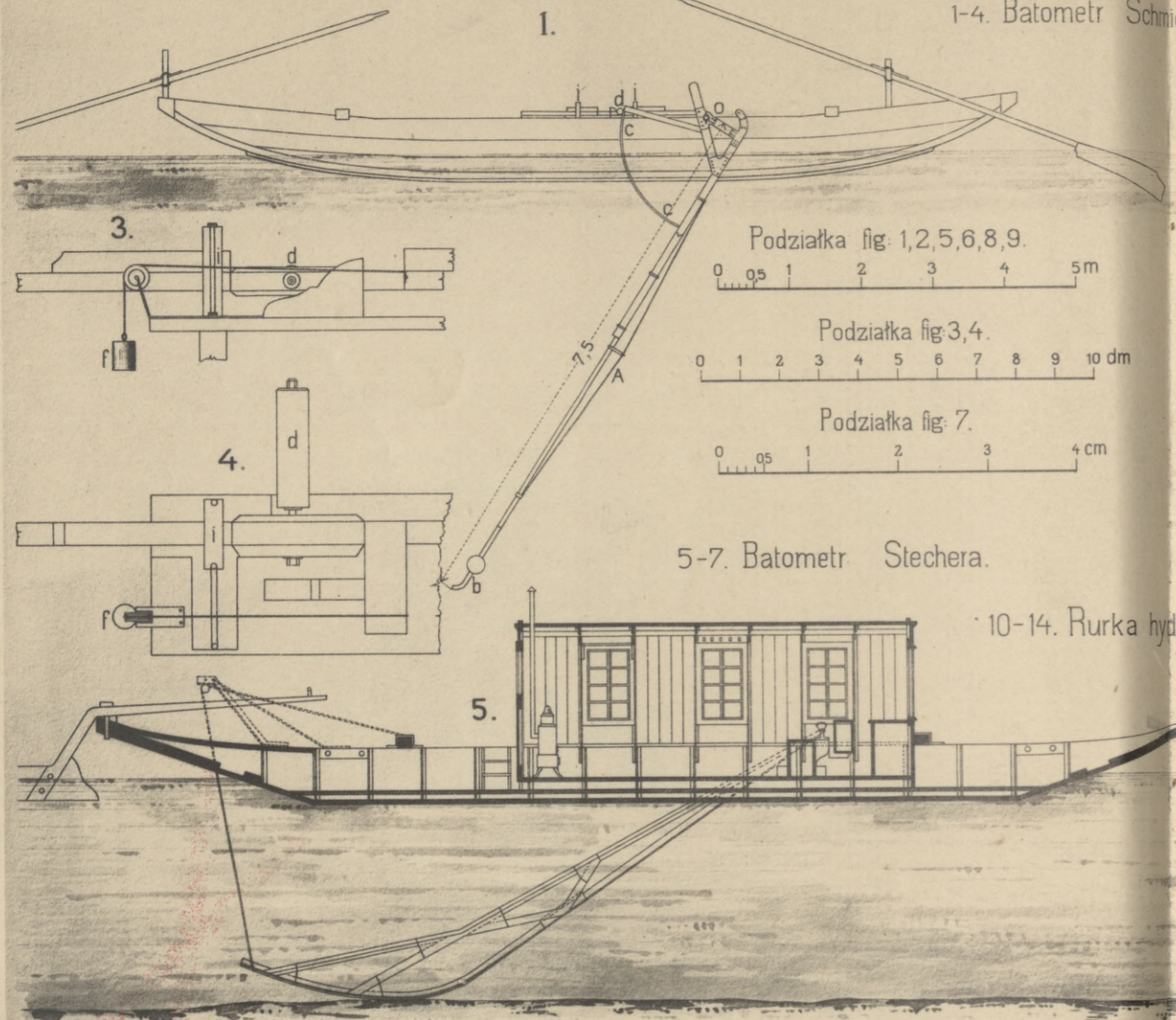
PLANY I PRZYRZĄDY HYDROMETRYCZNE.





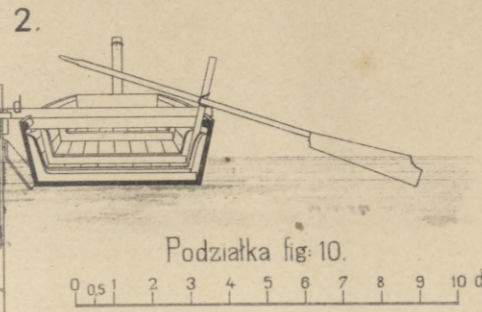


BATOMETRY SAMOKRESLNE I HYDROMETRY.



1.

1-4. Batometr Schmidta.



2.

Podziatka fig. 10.

0 0,5 1 2 3 4 5 6 7 8 9 10 dm.

Podziatka fig. 1, 2, 5, 6, 8, 9.

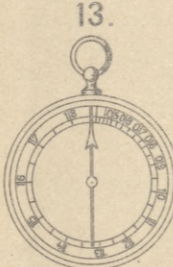
0 0,5 1 2 3 4 5 m

Podziatka fig. 3, 4.

0 1 2 3 4 5 6 7 8 9 10 dm

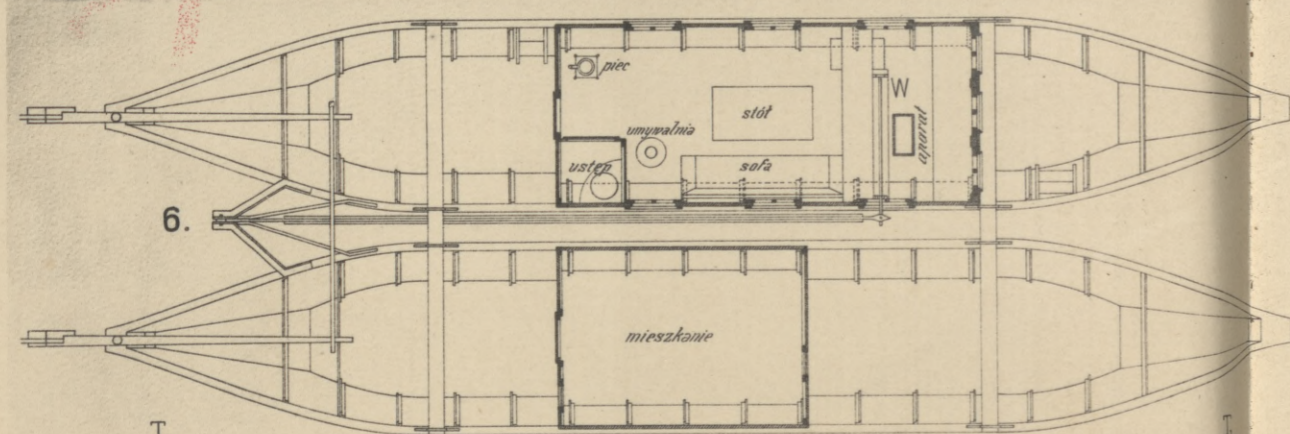
Podziatka fig. 7.

0 0,5 1 2 3 4 cm



13.

5-7. Batometr Stechera.



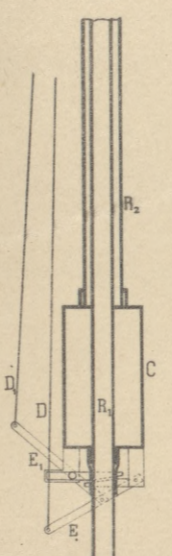
5.

10-14. Rurka hydrometryczna Franka.

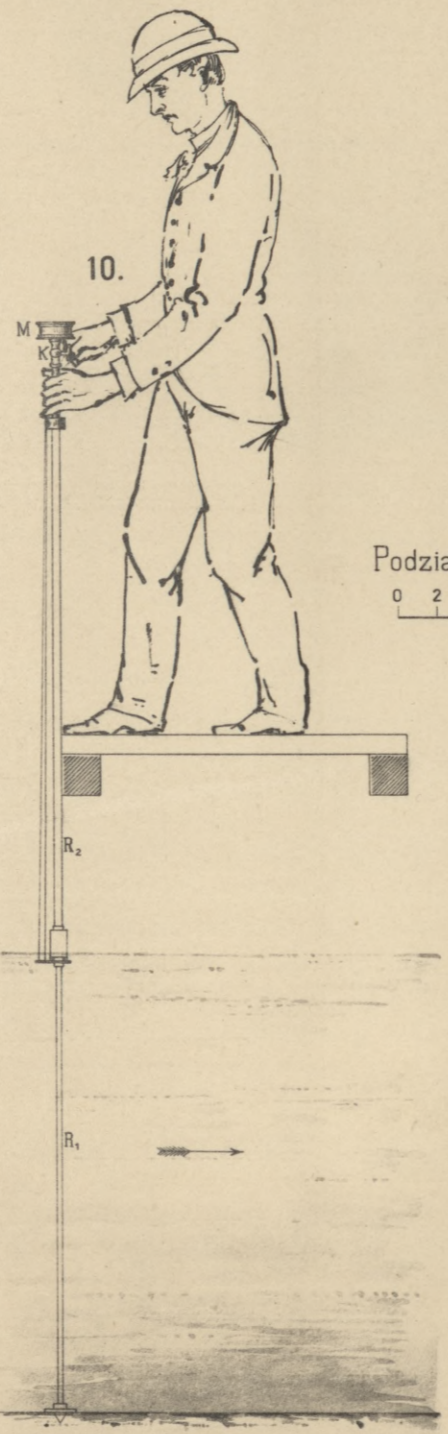
12.



11.



14.



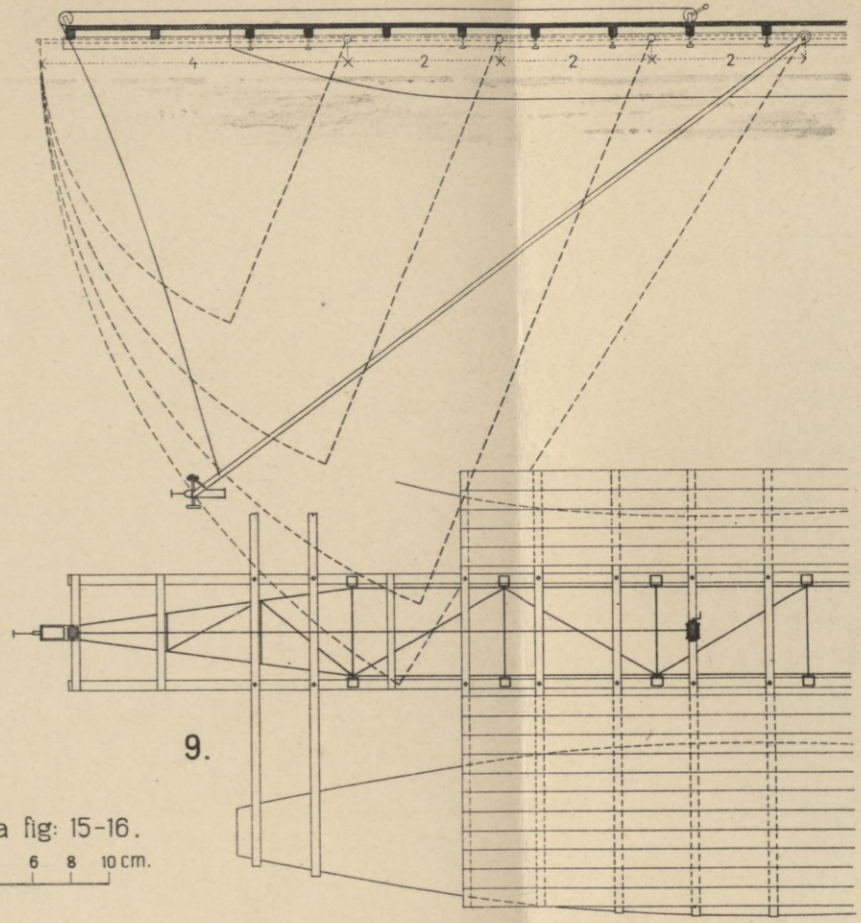
10.

Podziatka fig. 11-14.

0 1 2 3 4 5 6 7 8 9 10 cm

8-9. Hydrometr sprężynowy Franka.

8.

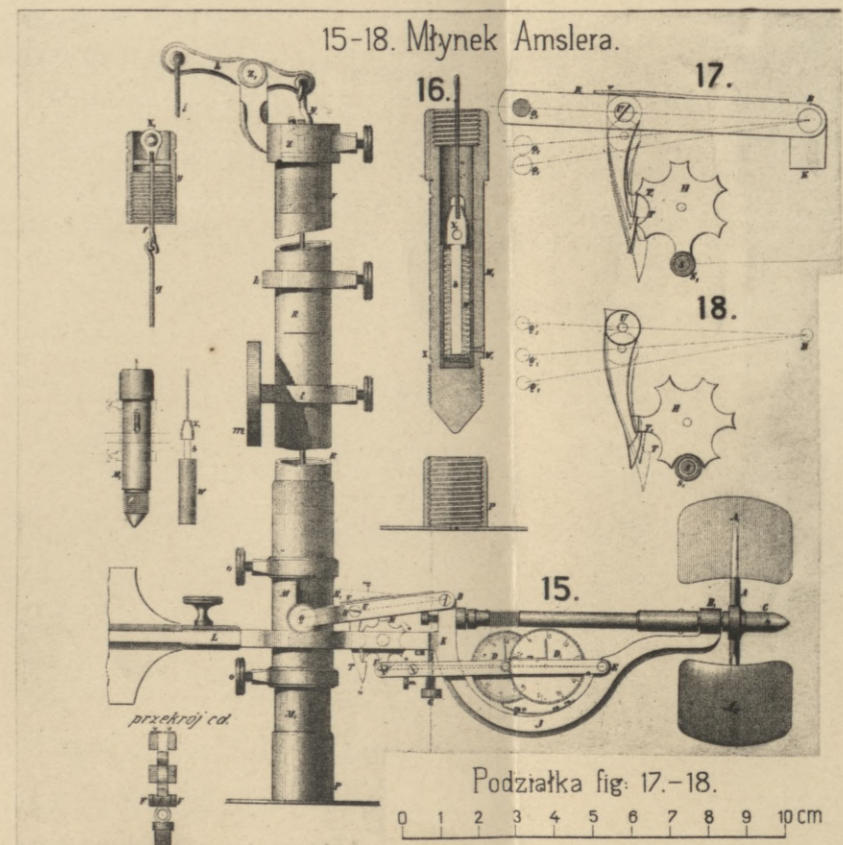


9.

Podziatka fig. 15-16.

0 2 4 6 8 10 cm.

15-18. Młynek Amslera.



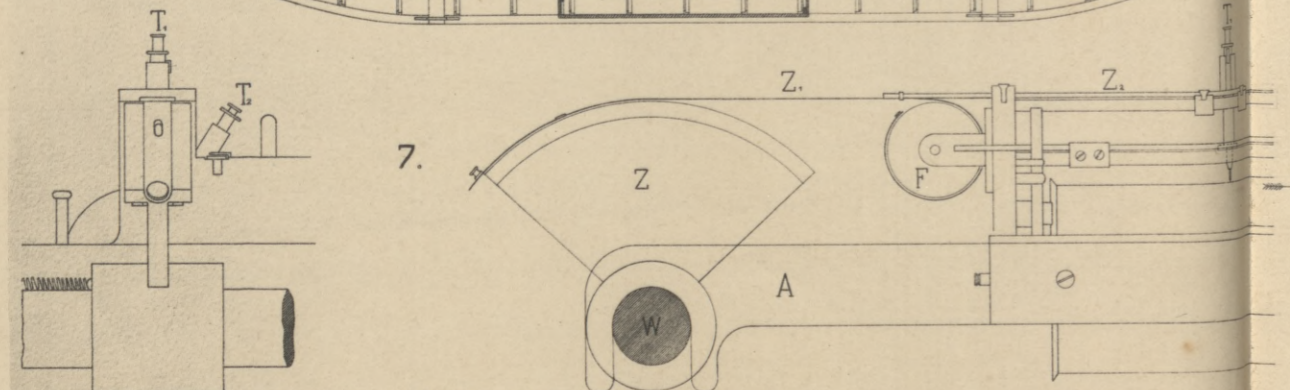
16.

17.

18.

Podziatka fig. 17-18.

0 1 2 3 4 5 6 7 8 9 10 cm



7.



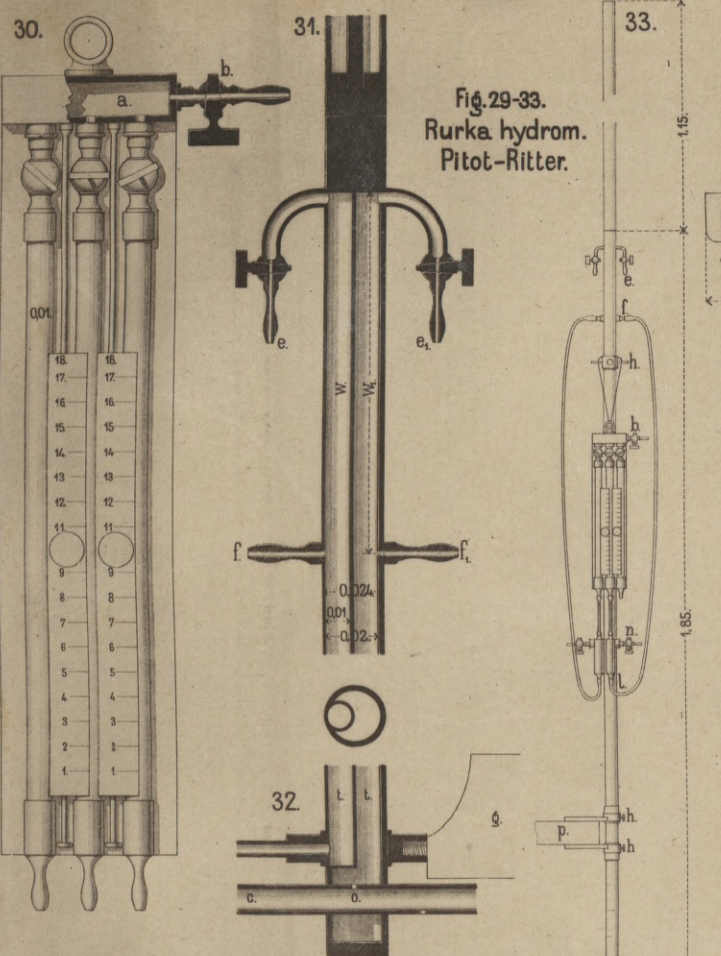


Fig. 29-33.
Rurka hydrom.
Pitot-Ritter.

Młynecz Rittera.

35.

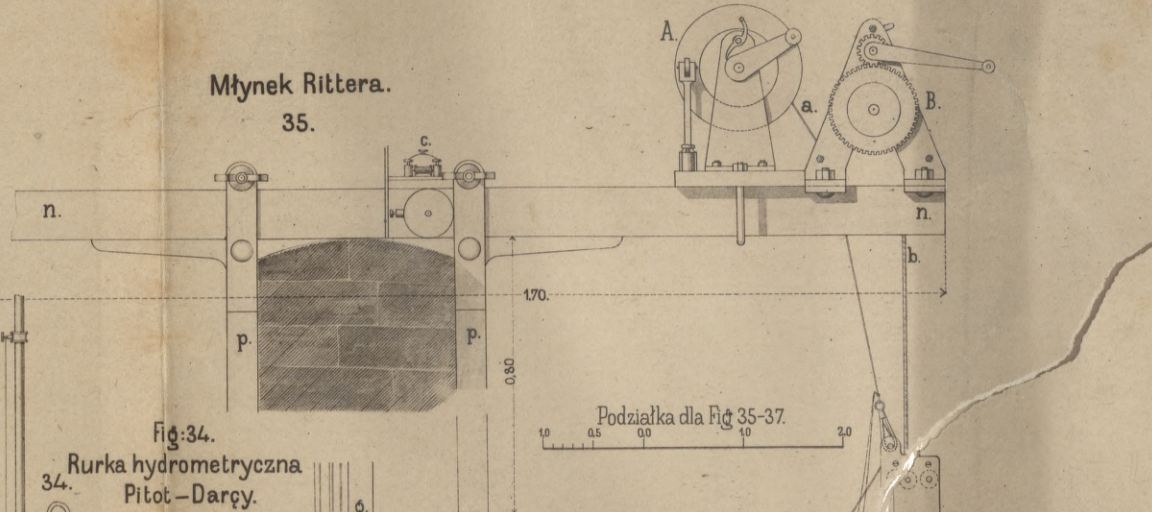


Fig. 34.

Rurka hydrometryczna
Pitot-Darçy.

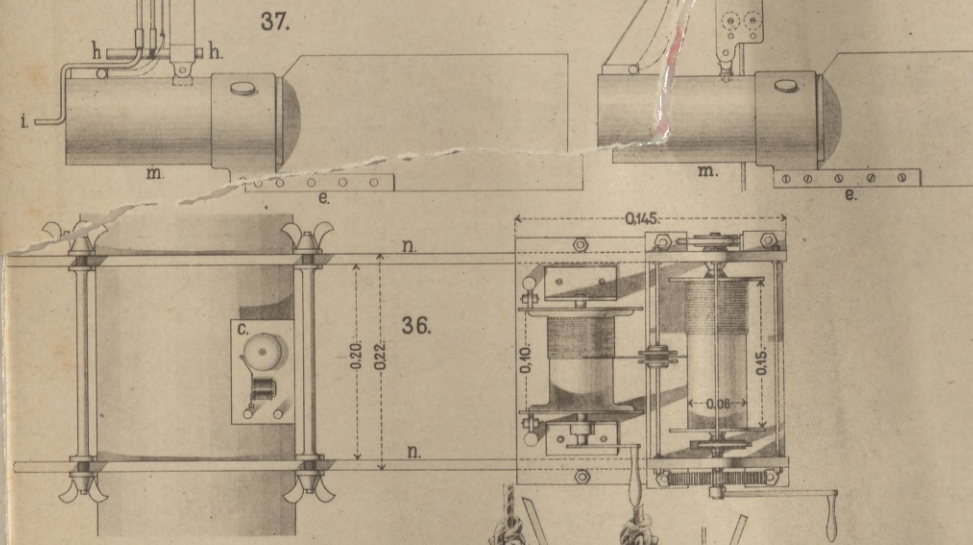
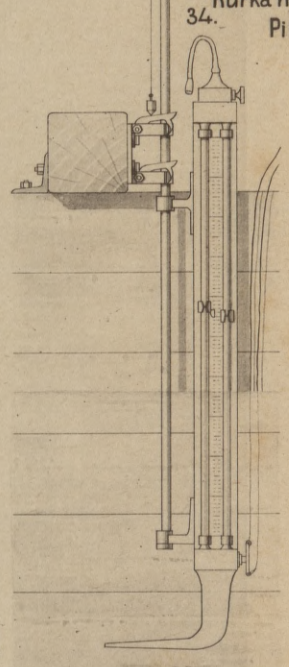


Fig. 38-44.
Hydrometr sprężynowy
Franka.

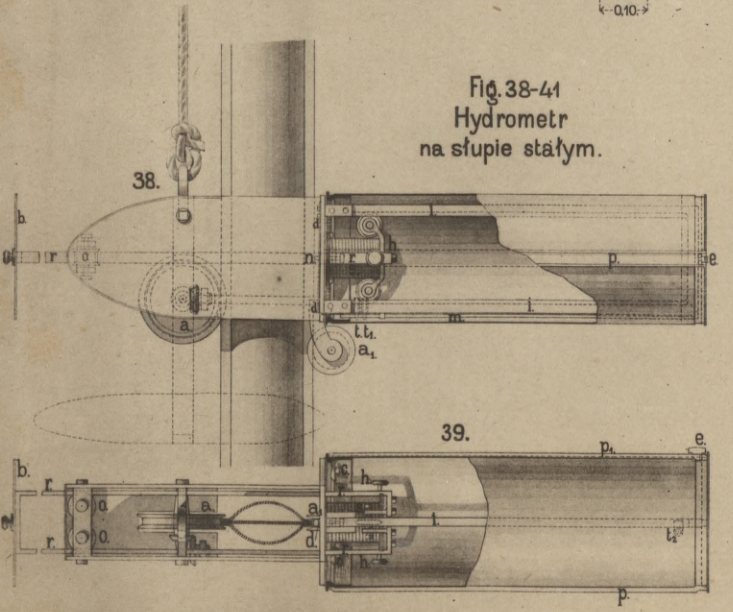
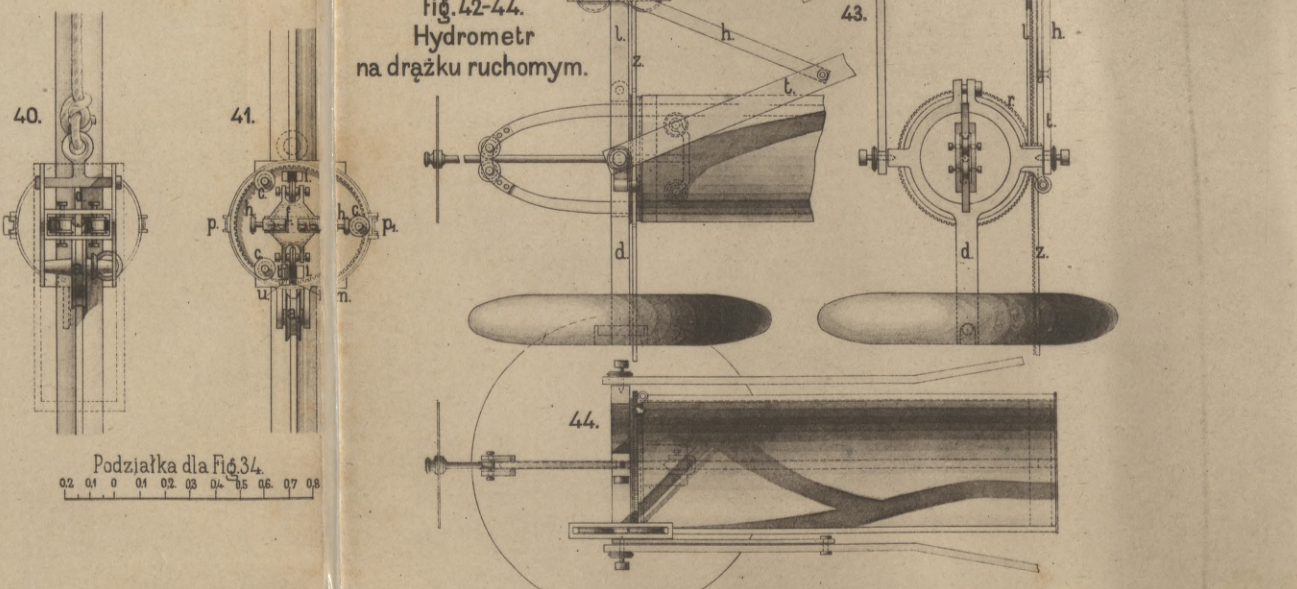


Fig. 38-41
Hydrometr
na słupie stałym.

Fig. 42-44.
Hydrometr
na drążku ruchomym.



Podziałka dla Fig. 34.

37 38 39 40 41 42 43 44 45 46 47 48 49 50 51 52 53 54

J.Rychter. Roboty wodne Cz.I

Tab.1A

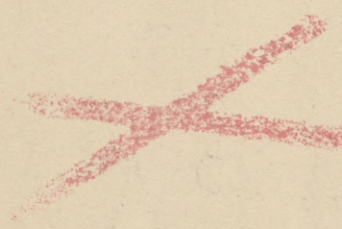
MAPA HYDROGRAFICZNA 1:1250000

Opracował: WŁ. SKOCZYŃSKI
1892

Grubsze pismo oznacza średnie roczne opady w milimetrach.
Cieńsze pismo oznacza morskie wysokości.

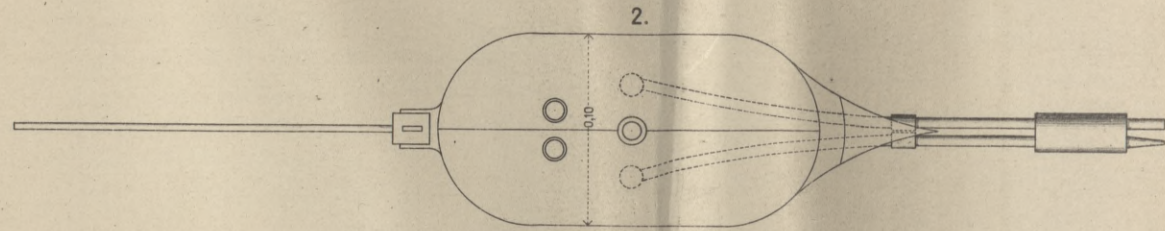
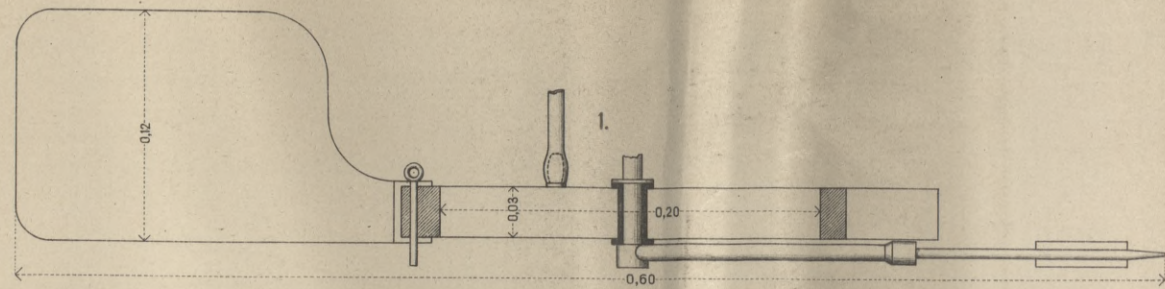
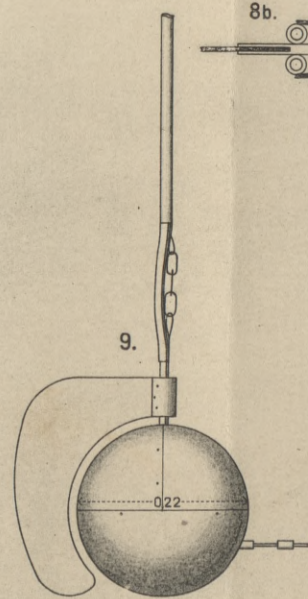
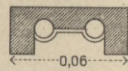
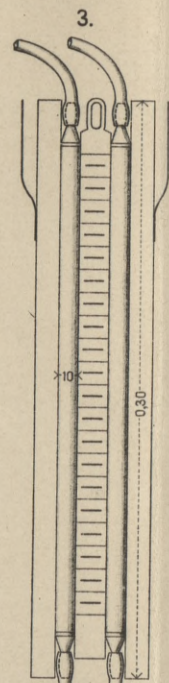
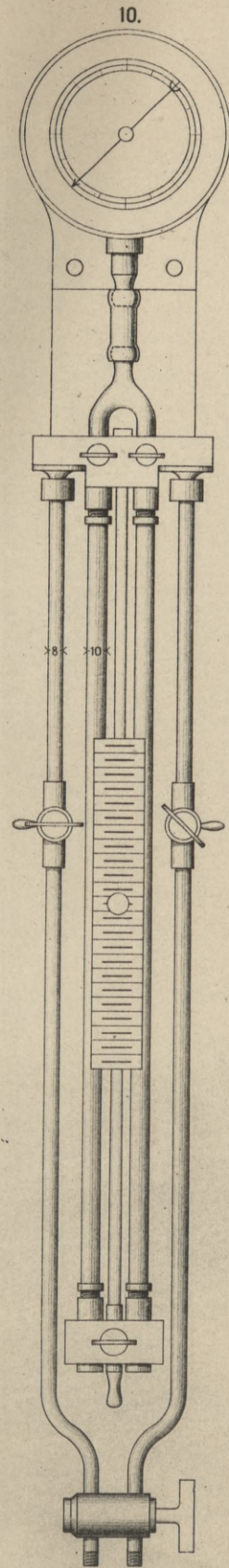


32° od Ferro 33 34 35 36 37 38 39 40 41 42 43 44 45 46 47

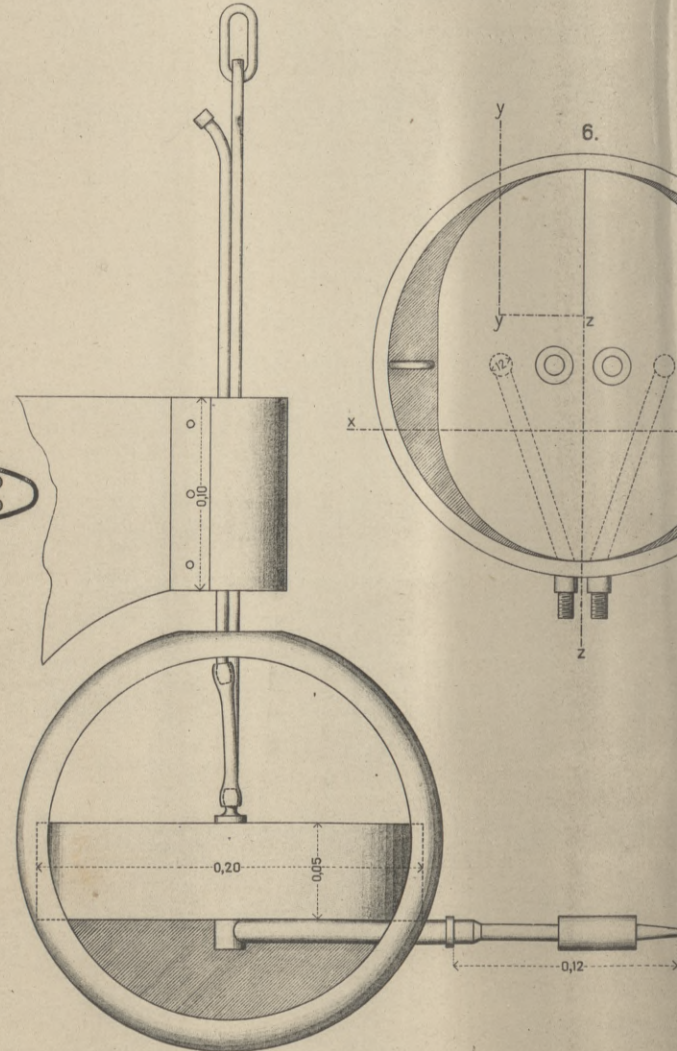




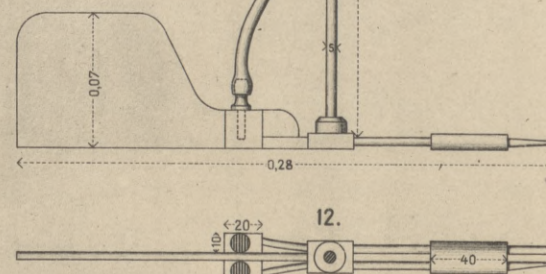
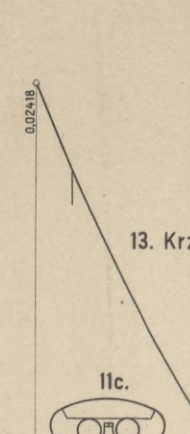
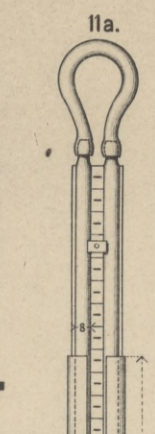
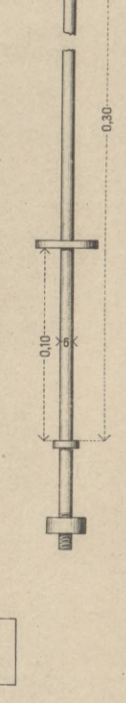
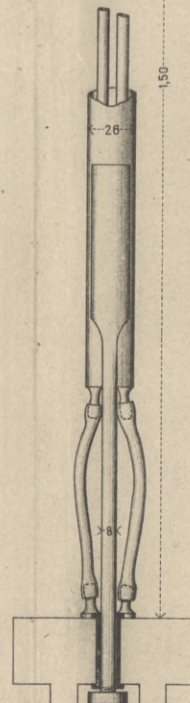
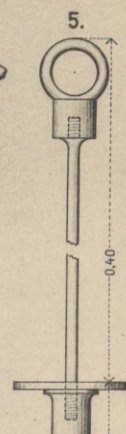
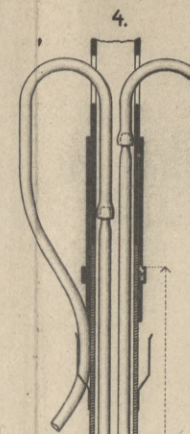
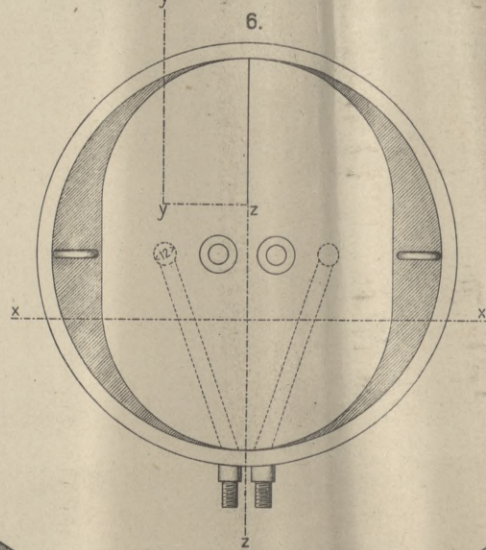
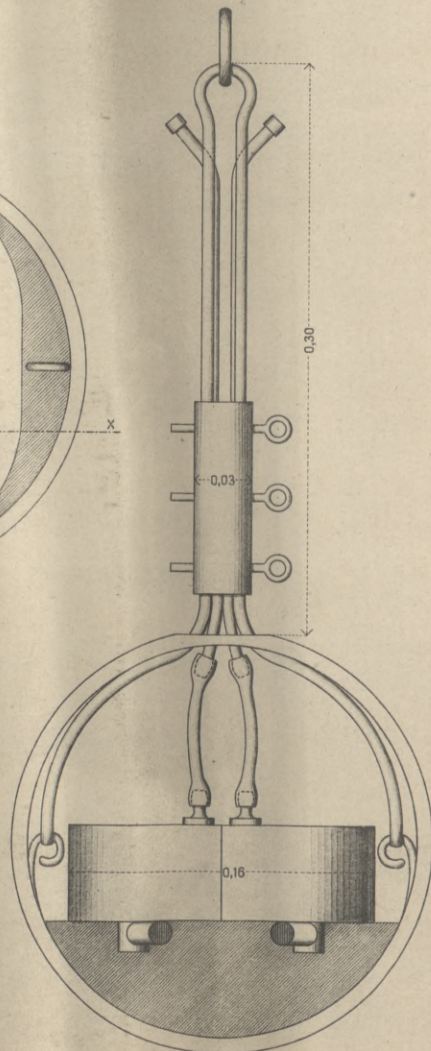
HYDROMETRY BANKOWE RITTERA.



8a. Przekrój yy zz.

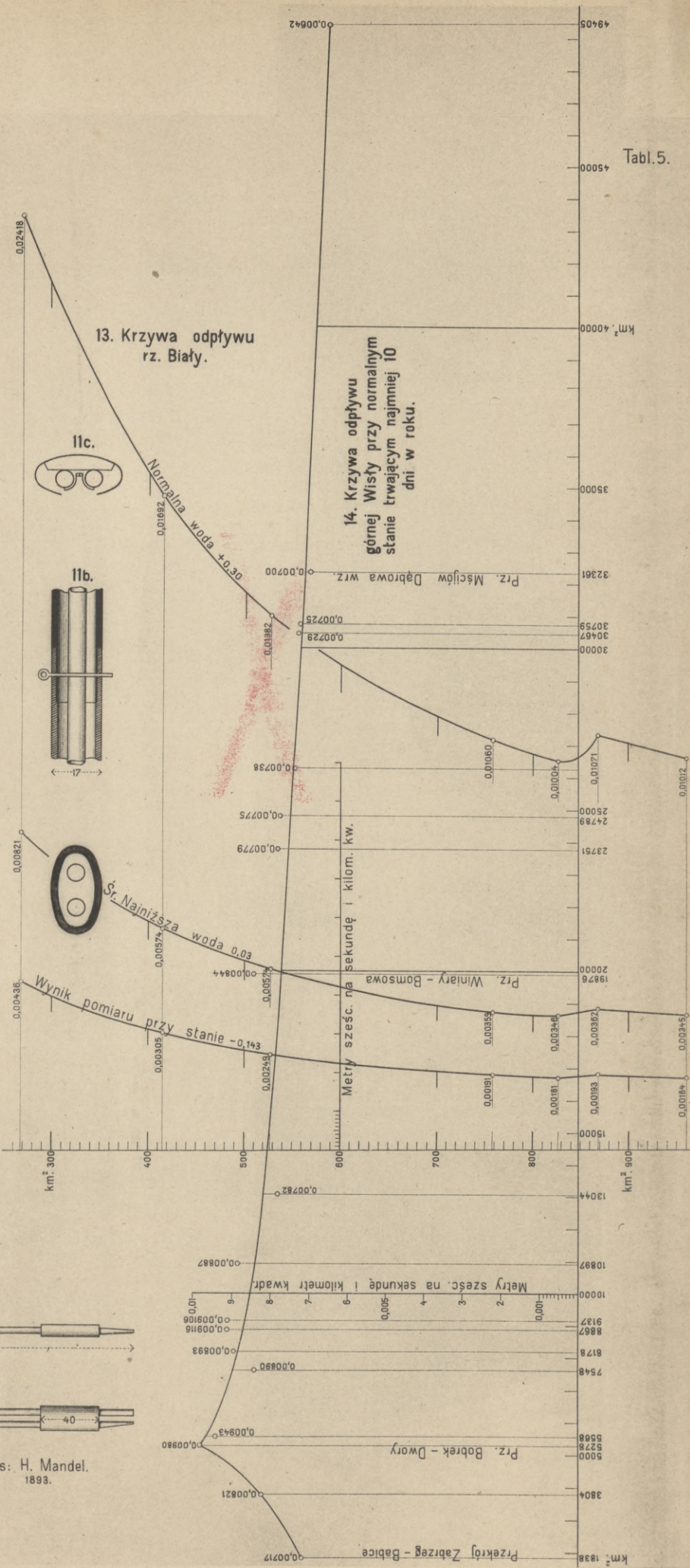


7. Przekrój xx.



12.

Rys: H. Mandel.

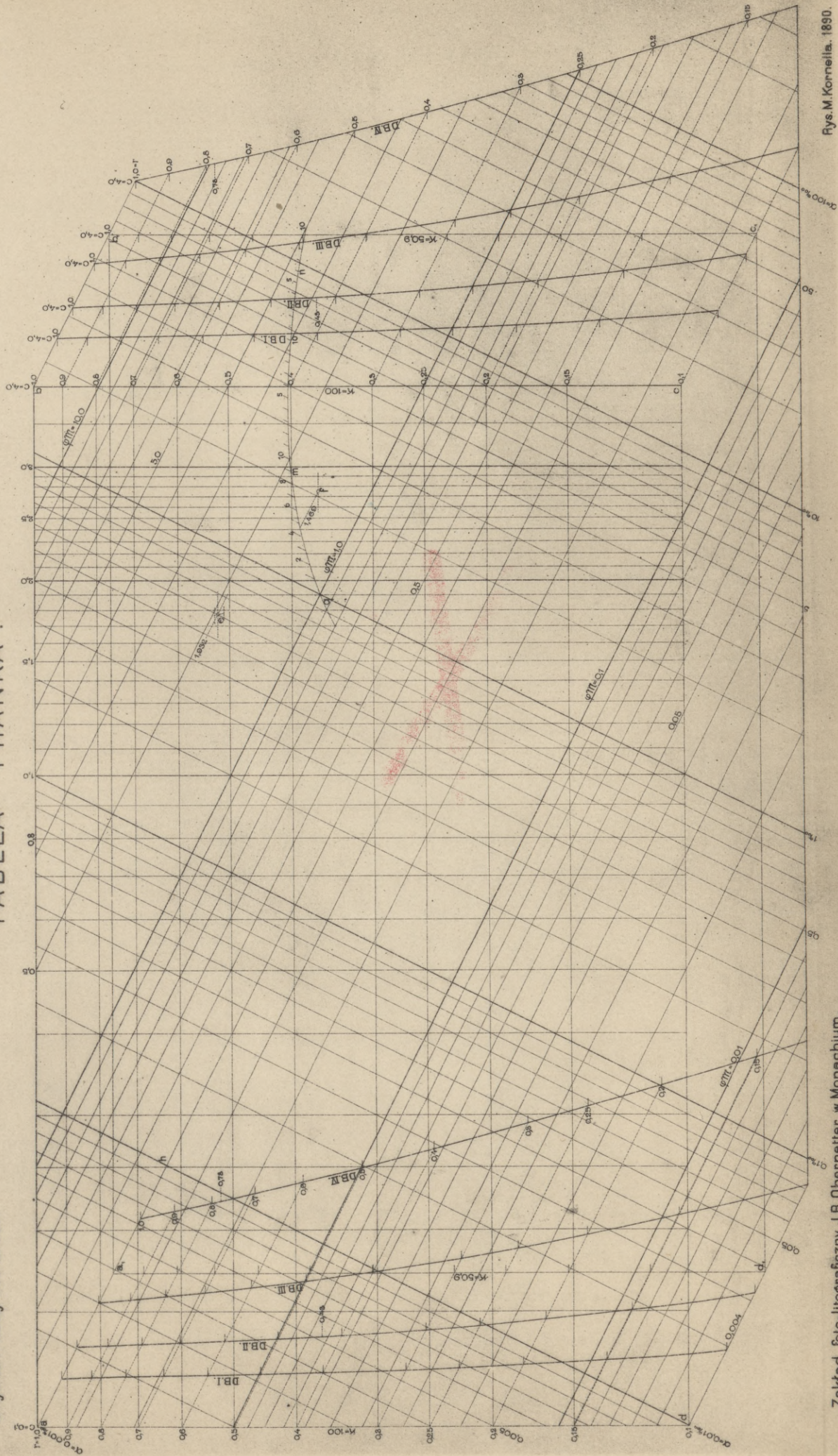




J. Rychter. Roboty wodne. Cz. I.

TABELA FRANKA

Tabl. 6A.



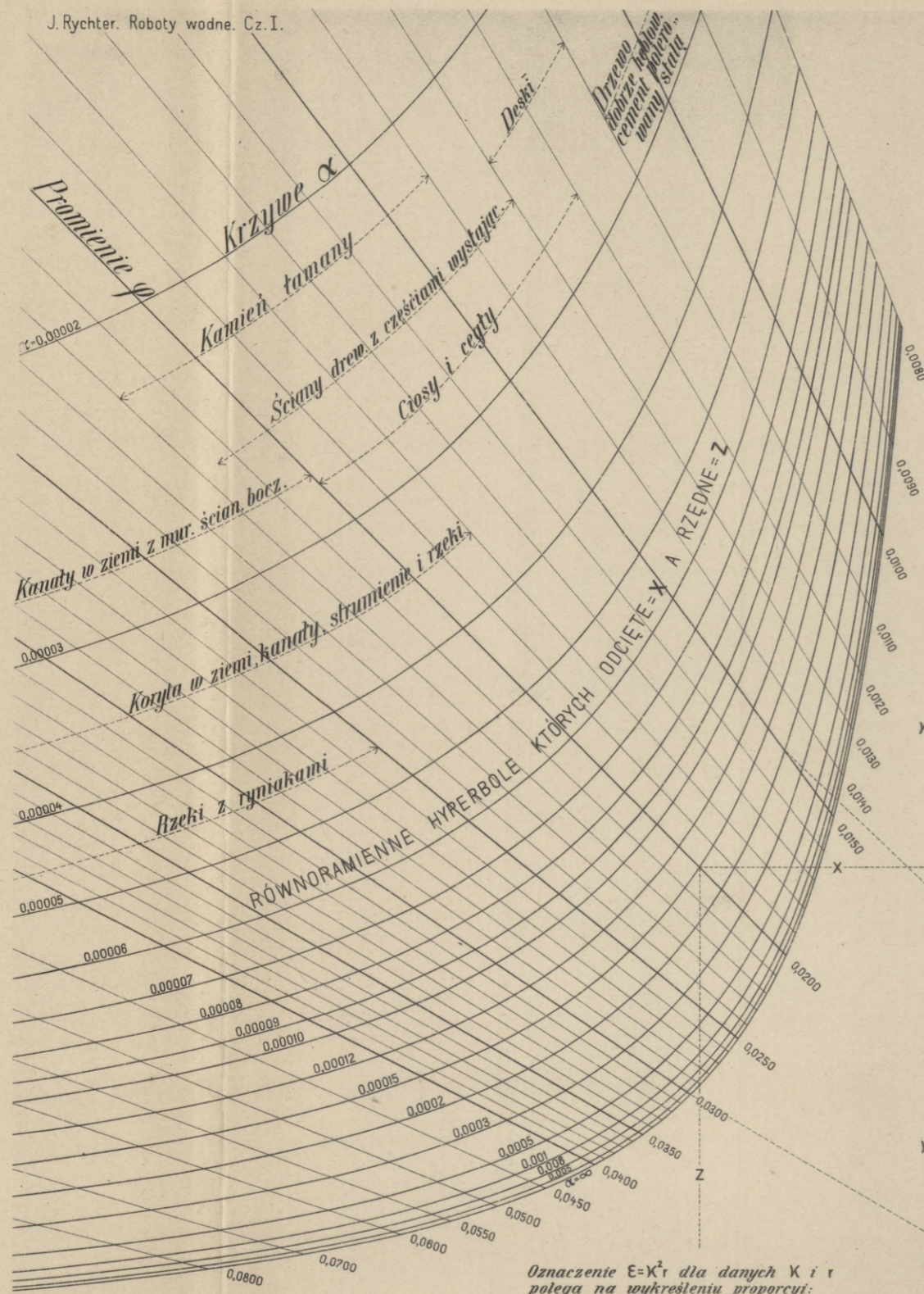
Zakład foto-litograficzny J.B. Obernetter w Monachium.

Rys. M. Kornella. 1890.





TABELA KUTTERA



RÓWNORAMIENNE HYPERBOLE KTÓRYCH ODCIĘTE = X A RZĘDNE = Z

$$c = K\sqrt{\alpha r}$$

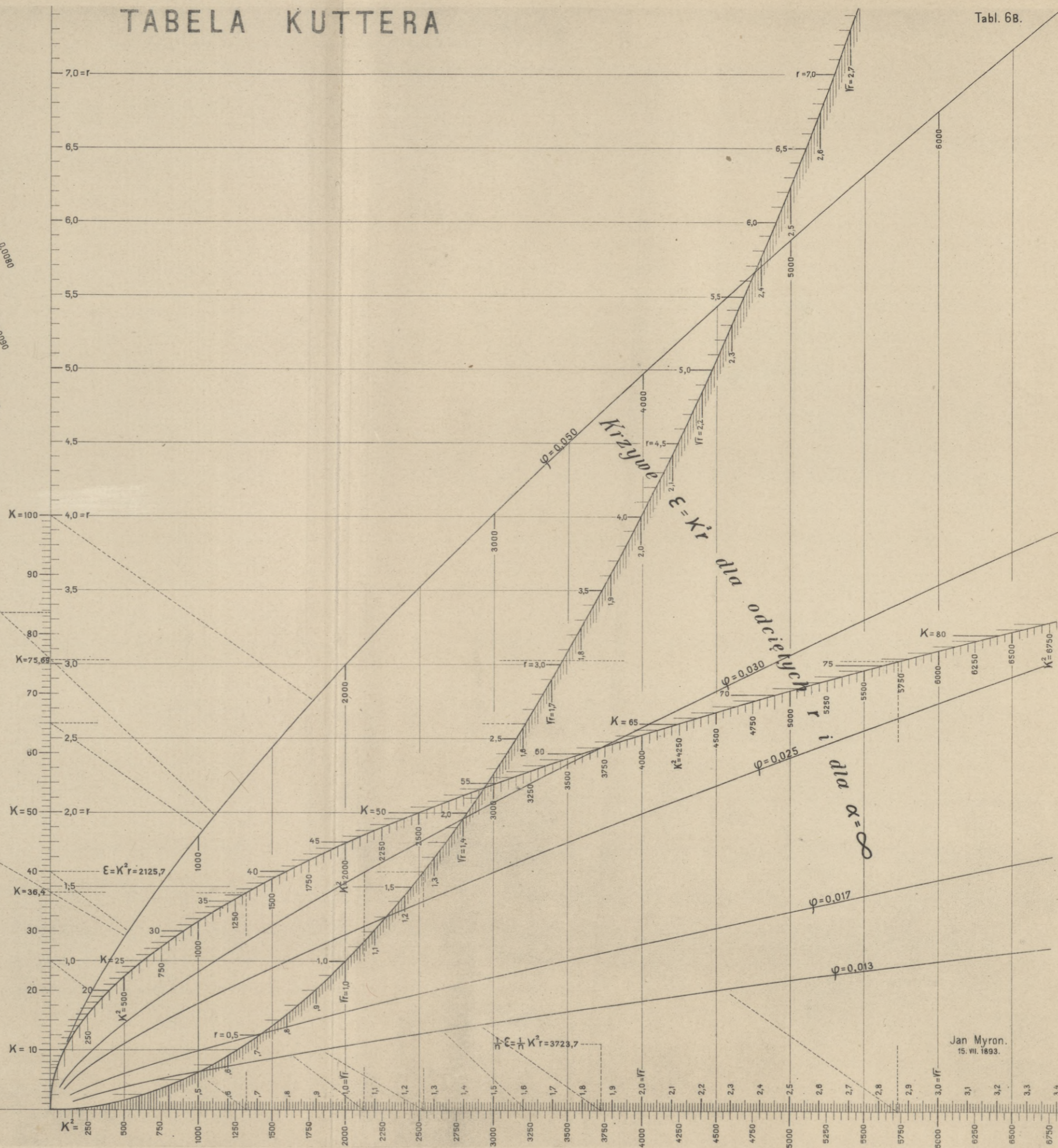
$$K = \frac{23 + \frac{1}{\alpha} + \frac{0.0015}{\alpha}}{1 + 23 + \frac{0.0015}{\alpha} + \frac{\varphi}{\sqrt{r}}}$$

$$\text{dla } \alpha = \infty \quad K = \frac{(23 + \varphi + 1)\sqrt{r}}{(23 + \varphi + 1)\varphi}$$

Oznaczenie K dla danych r, alpha i phi.
 Punkt sqrt(r) na osi odciętych, połączony z punktem przecięcia się promienia phi z krzywą alpha, daje proste, które ra odcina na osi rzędnych wartość K.
 Z powyższych 4 wartości mogą być którekolwiek trzy dane. Zawsze powyższa prosta oznaczy nam 4-tą niewiadomą.

Oznaczenie $E = K^2 r$ dla danych K i r polega na wykreśleniu proporcji:
 $n : K^2 = r : E$
 gdzie n=1 albo oznacza dowolną liczbę, być całkowitą.
 Rysunek przedstawia następujące dwa przykłady.

$\alpha = \infty$	$\alpha = 0,0002$
$\varphi = 0,03$	$\varphi = 0,015$
$r = 1,6$	$r = 2,6 \quad (n=4)$
$K = 36,4$	$K = 75,89$
$K^2 r = 2125,7$	$K^2 r = 3723,7 \quad \times 4 = 14894,8$

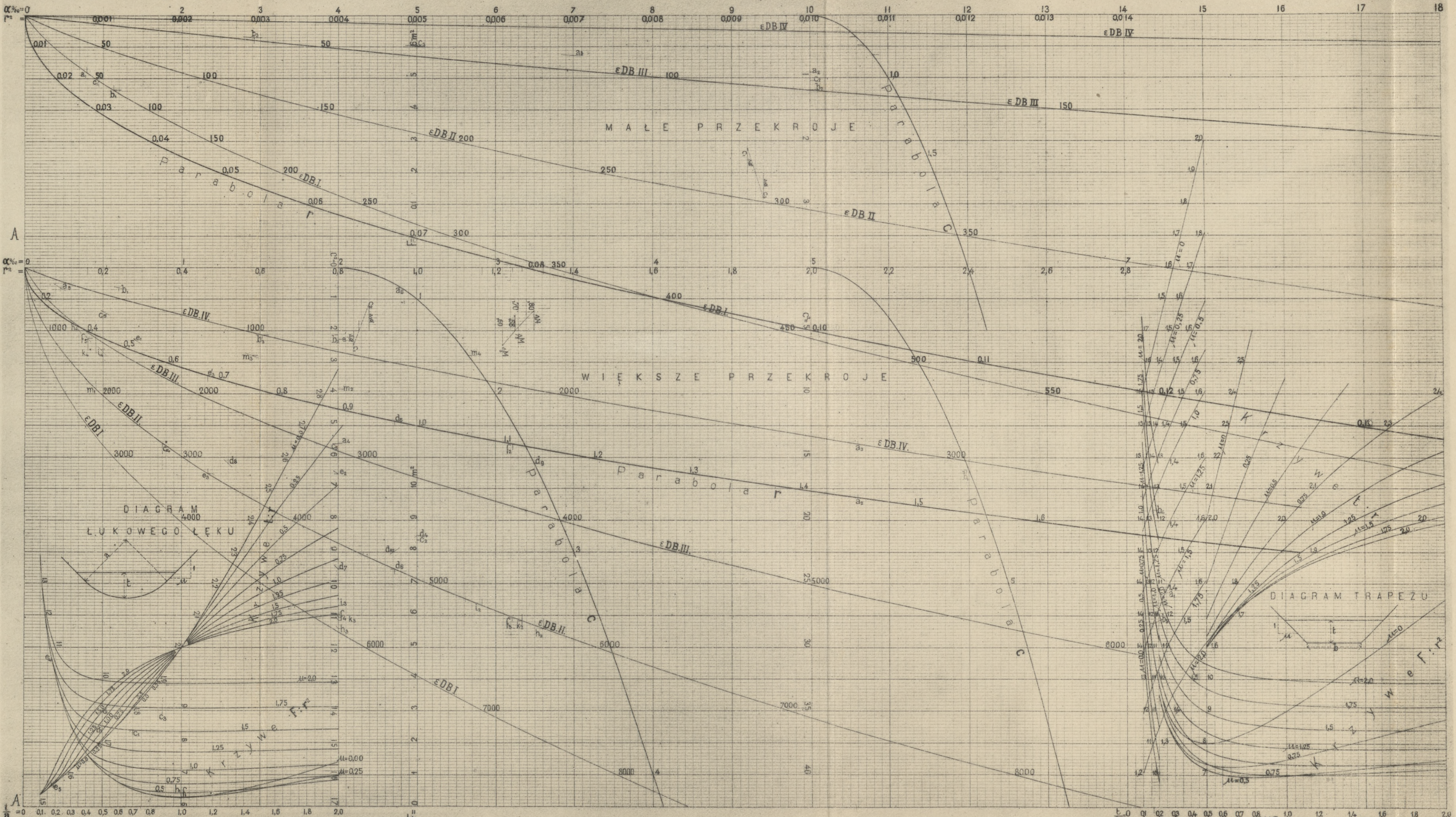


Jan Myron.
15. vii. 1893.

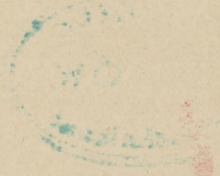
BIBLIOTEKA
KRAKÓW
Politechniczna

~~ZWIĄZEK STUDENTÓW IM. NIEMCEWICZ PRZY A. G. W. KRAKÓW~~





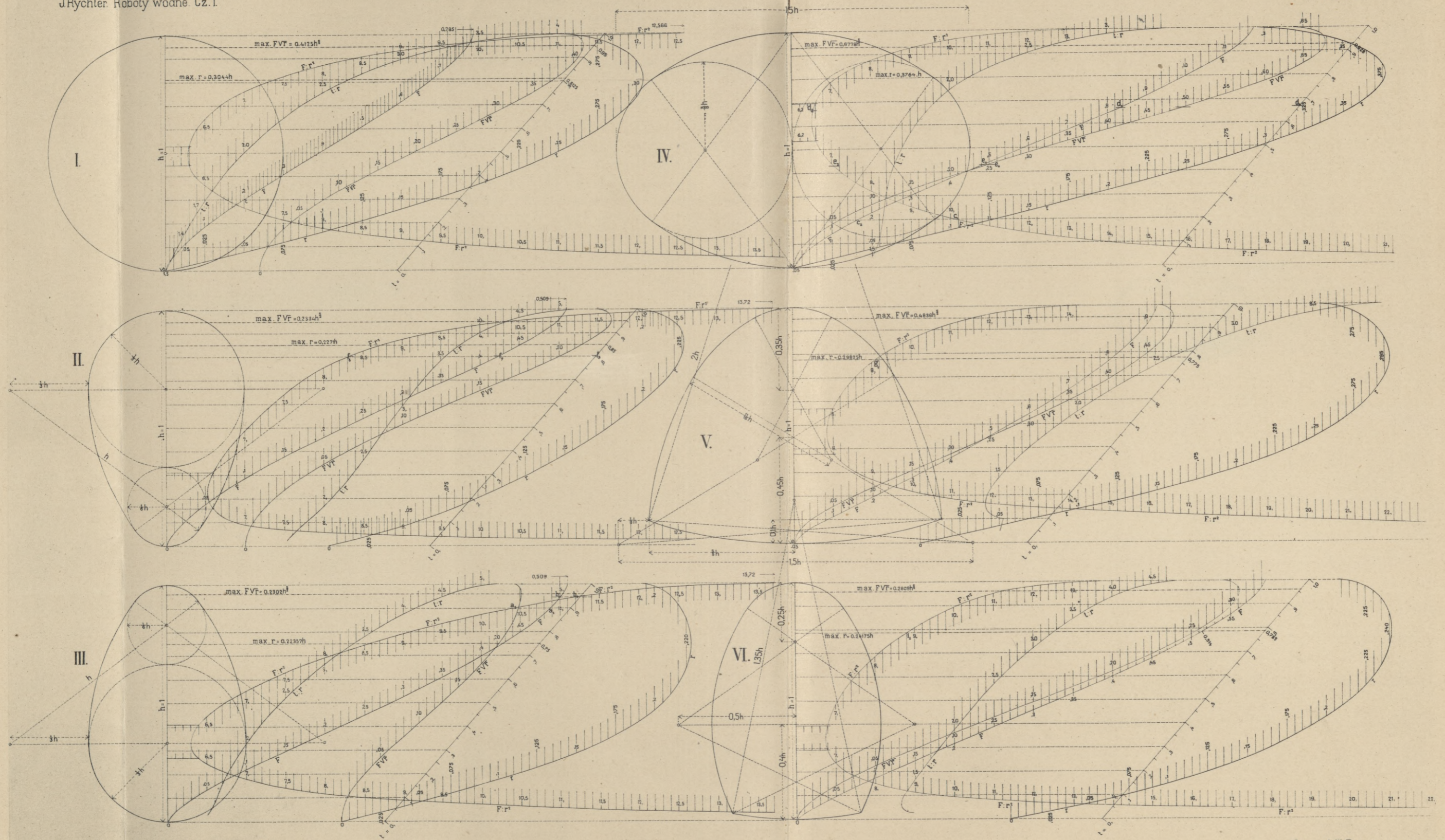




DIAGRAMY PRZEKROJÓW ZAMKNIĘTYCH

J.Rychter. Roboty wodne. Cz. I.

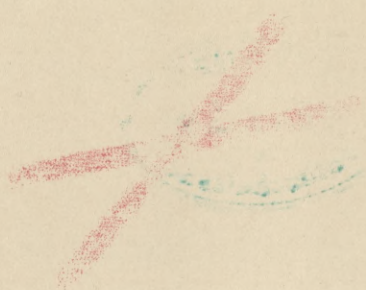
Tabl. 8A.

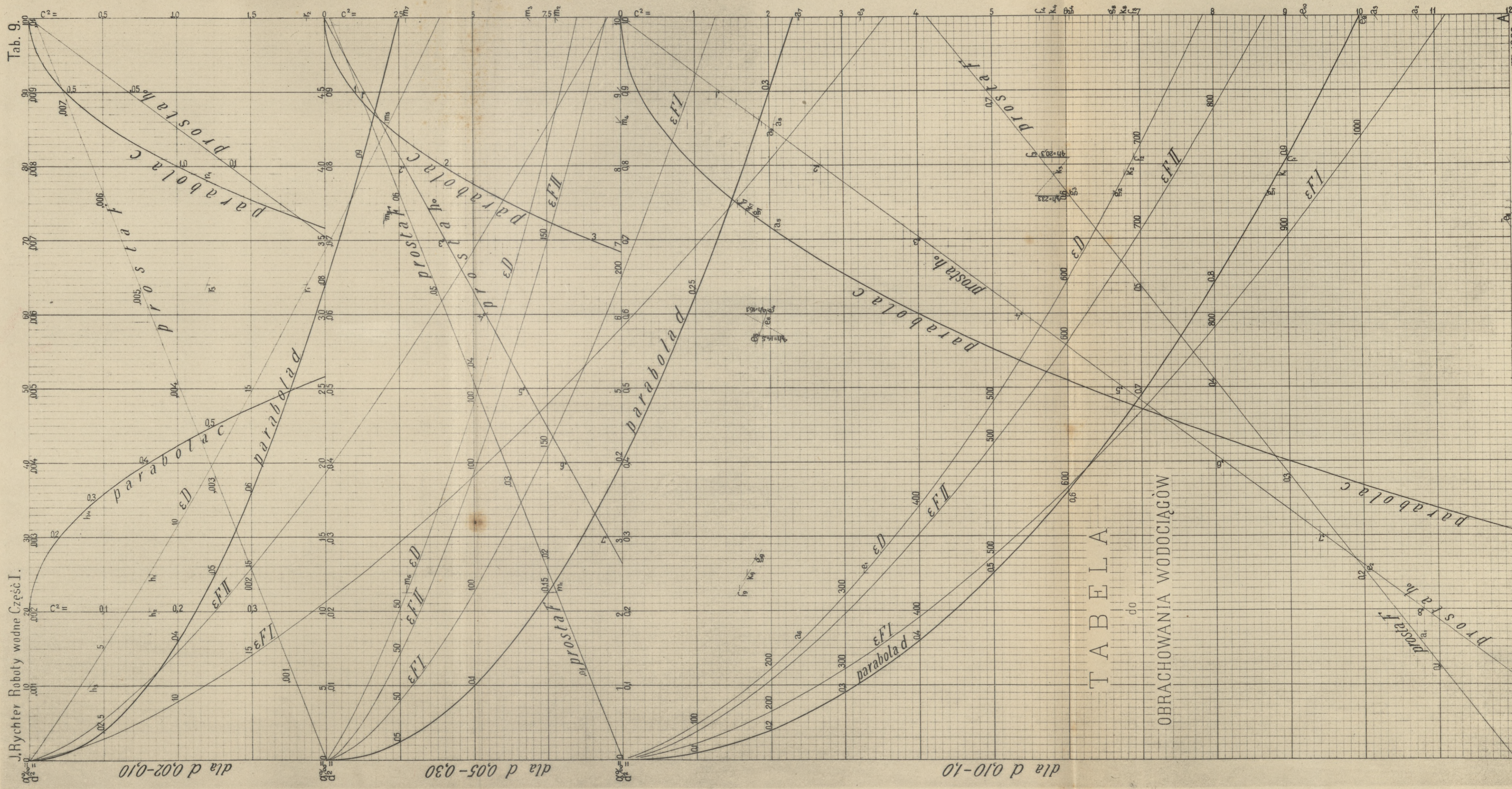


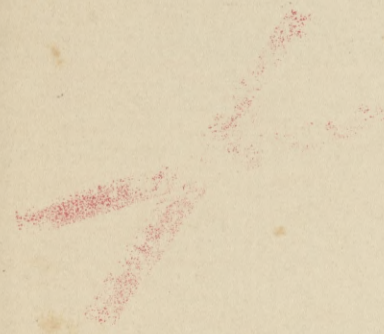


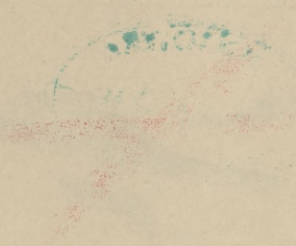










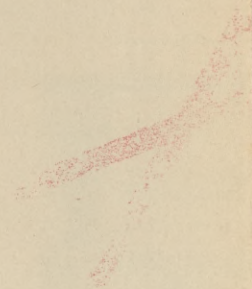




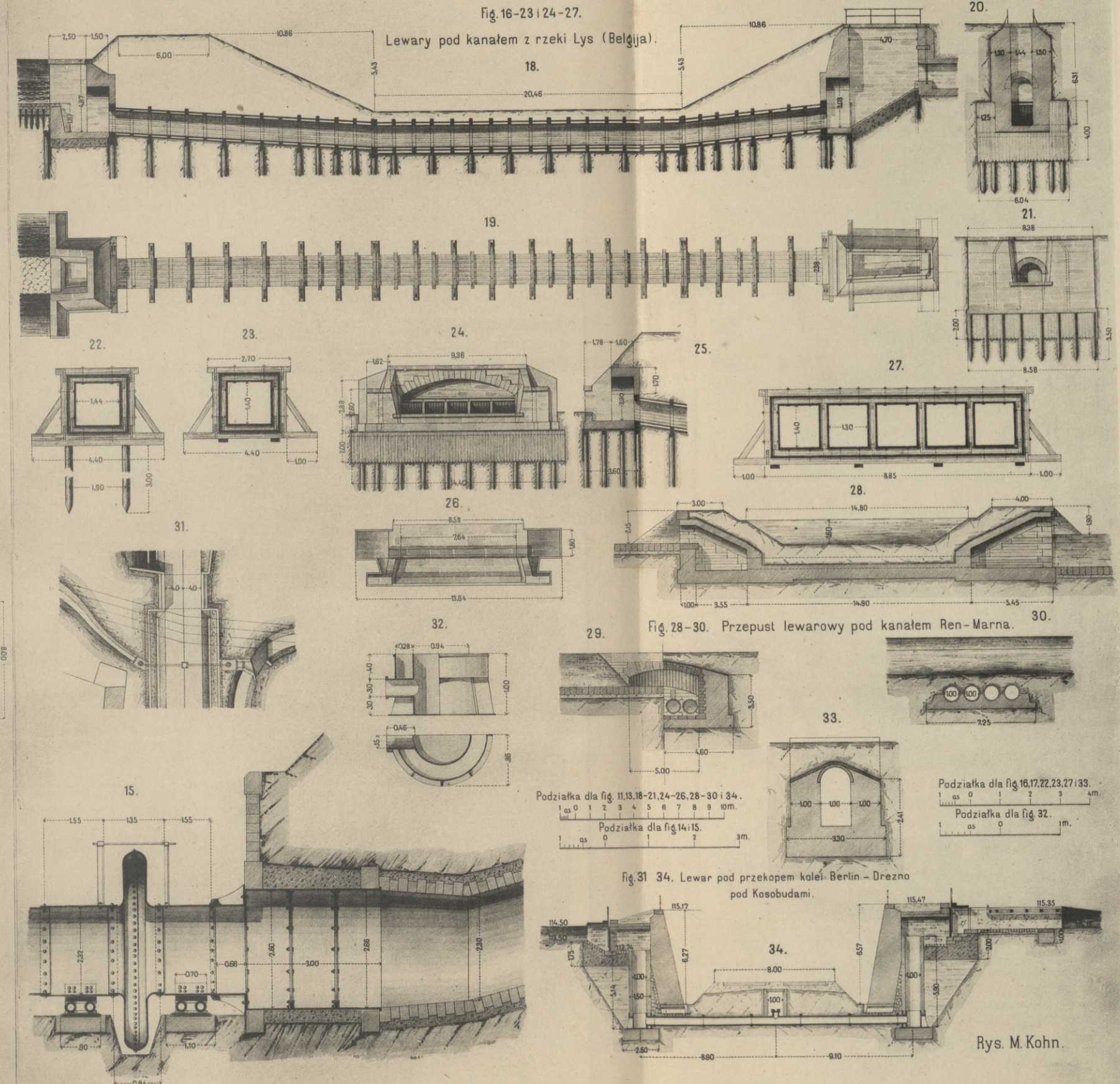
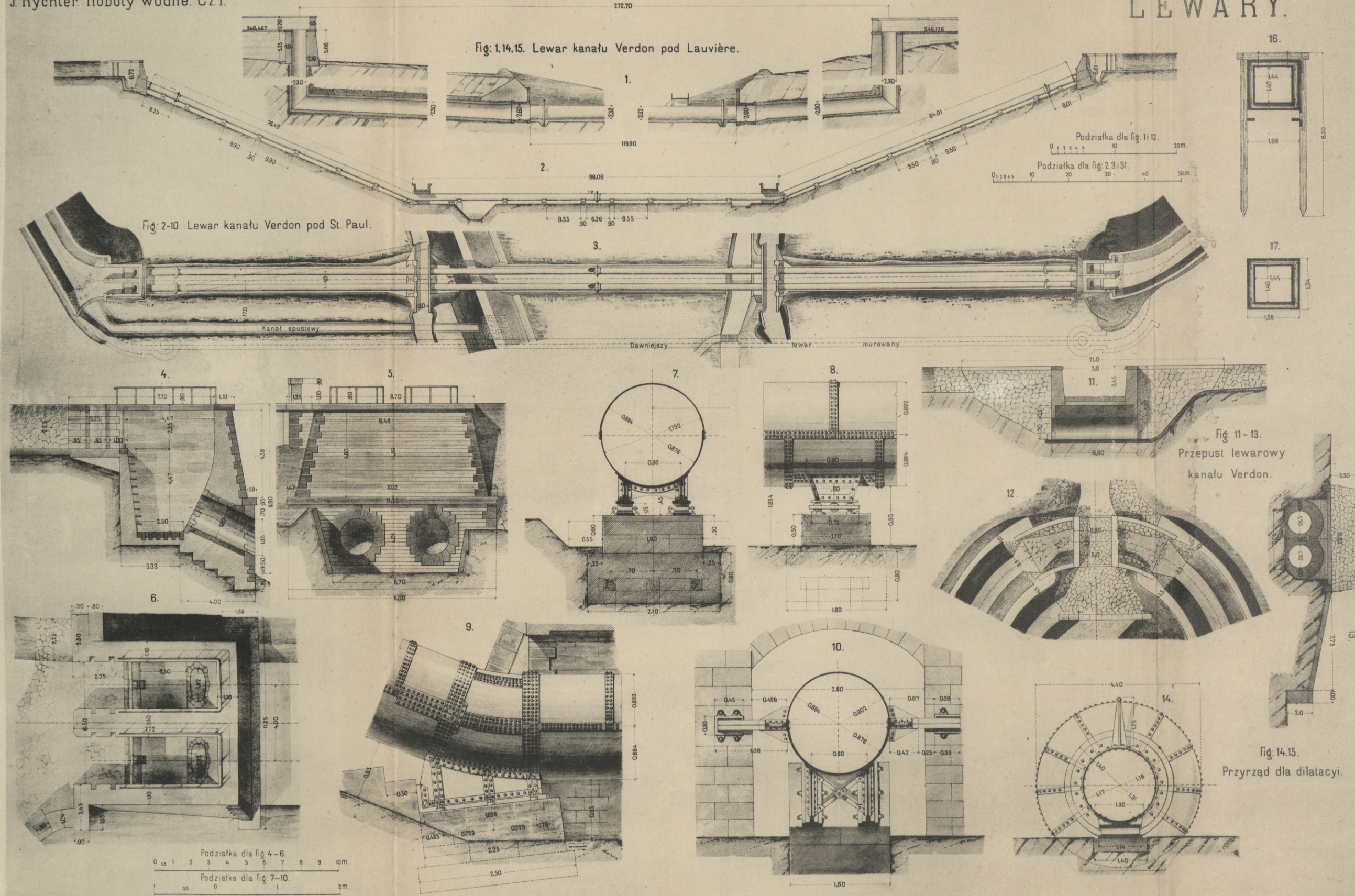


BIBLIOTEKA
KRAKÓW
*
Politechniczna





LEWARY.



BIBLIOTEKA
KRAKÓW
Politechniczna



Stamp with illegible text, possibly a date or library mark.



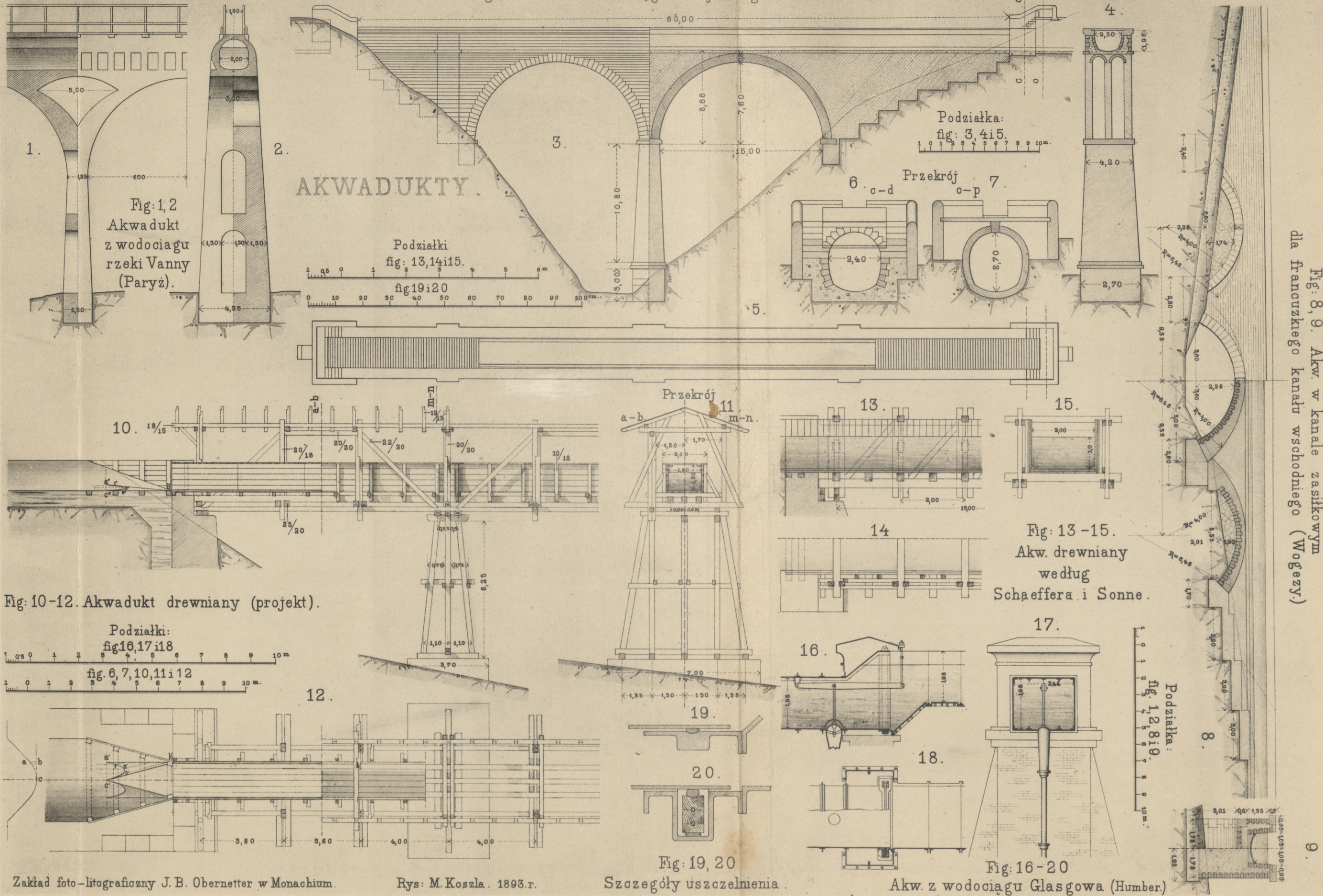


Fig: 8, 9. Akw. w kanale zasilkowym dla francuzkiego kanalu wschodniego (Wogezzy.)

Fig: 10-12. Akwadukt drewniany (projekt).

Fig: 13-15. Akw. drewniany według Schaeffera i Sonne.

Fig: 19, 20. Szczegóły uszczelnienia.

Fig: 16-20. Akw. z wodociągu Glasgowa (Humber)



S. 61

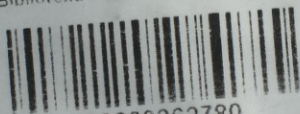
Biblioteka Politechniki Krakowskiej



III-304976

Kd.

Biblioteka Politechniki Krakowskiej



10000262780